

平成 21 年度卒業論文

大型低速風洞内飛行実験装置の高性能化

福岡工業大学 工学部
知能機械工学科

06E1059 山路 健太

06E1060 山本 清貴

指導教員 河村良行 指導院生 柴田光紀

第1章 緒言	1
第2章 飛行制御システムの構成	2
2.1 飛行実験装置の概要	
2.2 画像処理装置	
2.3 通信手段	
2.4 D/A 変換機	
2.5 大型低速風洞装置	
2.6 電力増幅回路	
2.7 無線制御装置	
2.8 制御プログラム	
2.9 実験に使用した機体	
第3章 LabVIEW を用いた制御プログラム	16
3.1 LabVIEW について	
3.2 画像処理装置からのデータの計測	
3.3 PD 制御による計算	
3.4 データの出力	
第4章 飛行体位置制御式の構築	10
4.1 飛行体のヨー角制御	
4.2 位置制御の構築	
第5章 制御システムの遅れ	16
5.1 飛行システム全体の遅れ	
5.2 画像処理部での遅れ	
5.3 コントロール部での遅れ	
第6章 遅れ補正による機体のヨー角と位置座標の状態推定	21
6.1 遅れ補正式の概要	
6.2 機体のヨー角の遅れ補正式の構築	
6.3 過去の飛行データによる C_θ の同定	
6.4 機体の位置(Y 座標)の遅れ補正式の構築	
6.5 過去の飛行データによる C_Y の同定	
6.6 ヨー角と Y 座標の遅れ補正導入による飛行実験結果	
第7章 画像処理部の遅れの改善	27
7.1 デジタル I/O による遅れ改善	
7.2 CV-5000 導入による実験結果	
7.3 シーケンサ導入による処理速度向上の実験	
第8章 結言	31

謝辞-----32

付録-----33

第1章 緒言

近年、モータやバッテリーの小型化が進み、小型飛翔体の研究が発達してきた。中でも羽ばたき飛翔体は外乱に強く、ホバリングができるという特徴がある。

本研究では風洞内で小型飛翔体を自由飛行させ、その飛行メカニズムを解明することを目的としている。

今年度は羽ばたき飛翔体の実験導入までには至らなかったが、昨年度の飛行制御アルゴリズムの見直しと飛行制御システムの遅れ補正の導入により飛行精度の向上を図る実験を行った。

また LabVIEW による直感的でよりわかりやすいプログラムの開発を行った。

第2章 飛行制御システムの構成

2.1 飛行実験装置の概要

制御システムの概要を図1に示す。機体に上面と側面のマーカーを取り付け、2台のCCDカメラでマーカーの画像を撮影し、撮影した画像を画像処理装置内で処理を行い、マーカーの位置、角度を検出する。その検出したデータもとにパソコン内でPD制御の計算を行い、D/A変換器を通して無線制御装置とインバータへ送る。無線制御装置はD/A変換器から送られてくる電圧を送信機に電圧をかけて、赤外線で機体に取り付けてある受信機に信号を送る。信号に応じて受信機から機体に搭載されたモータとラダーを動かして飛行体を制御している。インバータを通じて風洞送風機のモータを操作することで風速を変化させた。

2.2 画像処理装置

機体に取り付けたマーカーの位置や角度を検出させるためにCCDカメラを用いた画像処理装置CV-3000（KEYENCE社製）を使用した。CCDカメラと本体ユニットをそれぞれ図2、図3に示す。画像処理装置では指定された色の塊が一番大きいものを検出する、【ブロボ】計測という方法を用いた。上面マーカーで機体の前後左右の位置とヨー角を検出し、側面のマーカーで機体の高さや迎角を検出することができる。

2.3 通信手段

昨年度は画像処理装置とパソコン間はUSBケーブルで行っていた。本年度はLabVIEWの通信がUSBケーブルでできなかったため、Ethernet接続を行った。Ethernet接続は我々が普段インターネットに使うときに欠かせないLANケーブルを用いた接続方式である。しかし、LANケーブルといってもインターネット接続に用いているストレートLANケーブルではなく、パソコン同士を通信させる際に用いるクロスLANケーブルを使用した。ストレートLANケーブルとクロスLANケーブルを図4(a)、図4(b)に示す。

2.4 D/A変換機

D/A変換器はVisual Basicの場合、Measurement Computing CorporationのUSB-1208FSを使用しており、LabVIEWの場合、National InstrumentのUSB6009を使用している。D/A変換器はそれぞれアナログ出力が2ポートしかなく、赤外線無線機とインバータを制御するためには4ポート必要なのでD/A変換器を2台組み合わせて使用している。USB-1208FSを図5、USB6009を図6に示す。

2.5 大型低速風洞装置

今回、大型低速風洞の精度向上のため、木製から鉄製へと変えた。変更した大型低速風洞装置を図7に示す。風洞の風速を制御するために送風機のモータ回転数をインバータ【3G3MV-A2007（オムロン製）】によって制御している。インバータは送風機の電源を供給するときに電圧の周波数や流す電流を制御することで送風機の制御を行っている。

る。また、アナログ電圧をインバータの FR ポート、FC ポートにかけることで送風機のモータ回転数を制御することができるようになっている。インバータを図 8 に示す。

2.6 電力増幅回路

D/A 変換器の電源は USB 端子から電力を供給されているため 0[V]から最大で+4[V]までのアナログ電圧しか出力されないためモータやラダーを動かすためには電圧や電流が足りない。その上、ラダーを左右に動かすためには±電圧が必要である。そこでこれらの問題を解決するために電力増幅回路を使用した。電力増幅回路図を図 9 に示す。電力増幅回路は 12[V]の電源が 2 つ入っており、OP アンプによる差動増幅回路とトランジスタによる電流増幅回路で構成している。OP アンプが行っていることを式で表すと、 $V_{out}=A \times (2-V_{in})$ となる。これは信号電圧 V_{in} と 2 V の一定電圧を OP アンプに通じて±電圧に変換して差動増幅回路の可変抵抗の抵抗値を変えることで OP アンプの増幅率 A を調整する。OP アンプから出力された電圧 V_{out} をトランジスタによって電流を増幅して出力される。定格電流 1 [A]のトランジスタ (2SC495、2SA496) の電力増幅回路を図 10 に示す。

2.7 無線制御装置

無線通信は機体のコントローラーの回路を利用した。コントローラーの回路はモータの強弱やラダーを左右に操作する操作レバーを通じて可変抵抗が連動して動くようになっていた。可変抵抗の抵抗が変動している所の電圧を測定すると操作レバーに追従して電圧が 0[V]から 3.2[V]の範囲で変動していた。そこで可変抵抗から固定抵抗に変更してそこに D/A 変換器からの信号電圧をかけることでパソコンからの信号に合わせてモータやラダーを動かすことが可能になった。無線制御装置を図 11 に示す。

また回路の電源として AC100[V]から DC15[V]に変換する AC 安定化電源 [Power Supply(TDK 社製)]を使用しており、電圧が高いので 15[V]から 6[V]へ落とす可変電圧回路を利用している。可変電圧回路を図 12 に示す。

2.8 制御プログラム

制御プログラムは Visual Studio 2005 と LabVIEW を使用した。画像処理装置で測定したマーカーの位置や角度、測定回数が Visual Studio 2005 の場合は USB、LabVIEW の場合クロス LAN ケーブルを通じてパソコンに送られる。制御には PD 制御を用いており、画面上の比例係数 K_p 、微分係数 K_d の制御器に数値を入力することで制御電圧を求めている。制御電圧はパソコンに接続された D/A 変換器によりアナログ電圧として出力されるようプログラムされている。

2.9 実験に使用した機体

従来は手作りの小型飛行体を制作し、飛行させたが脆く飛行精度が安定しないため、タイヨー社製のウルトラライトプレーンを使用することにした。仕様と機体を図 13 に示す。

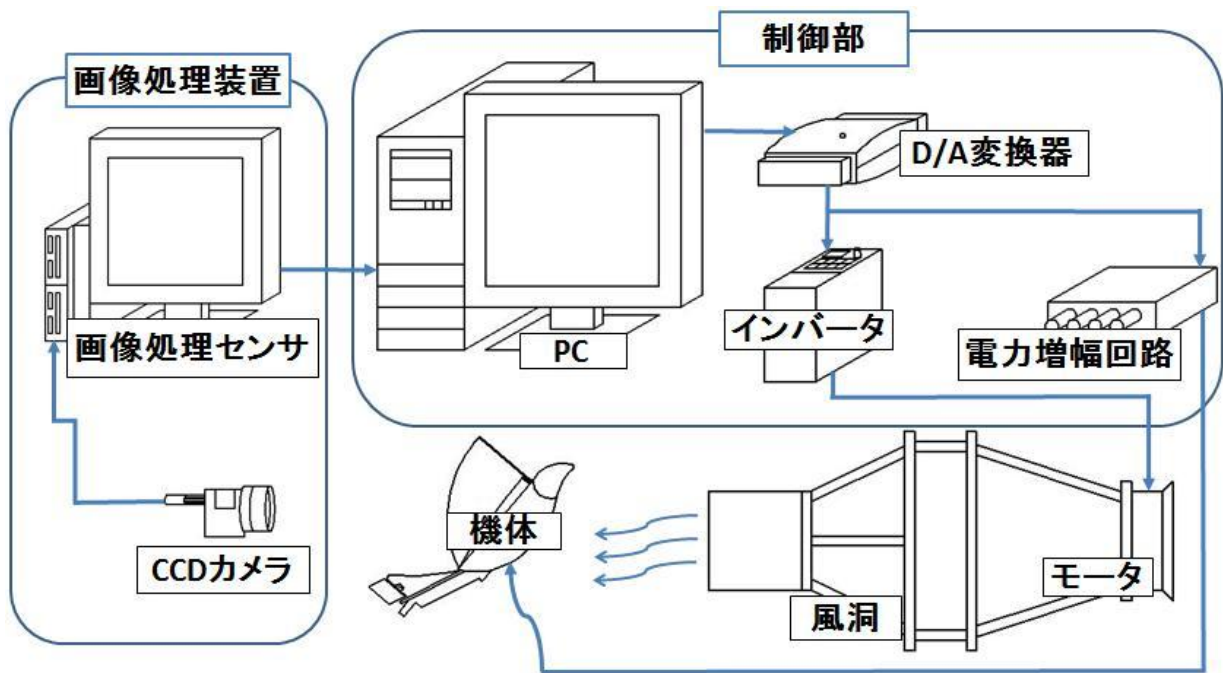


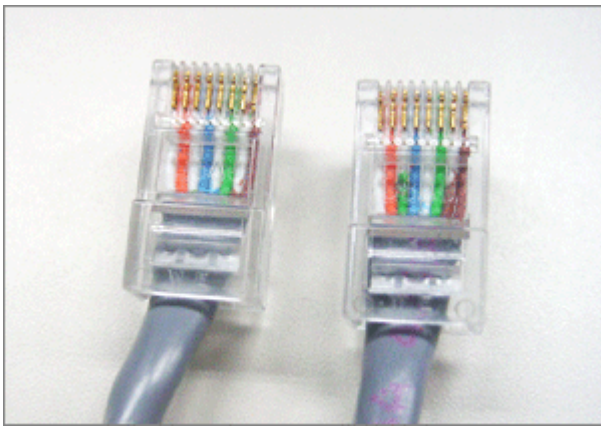
図1 飛行制御システム



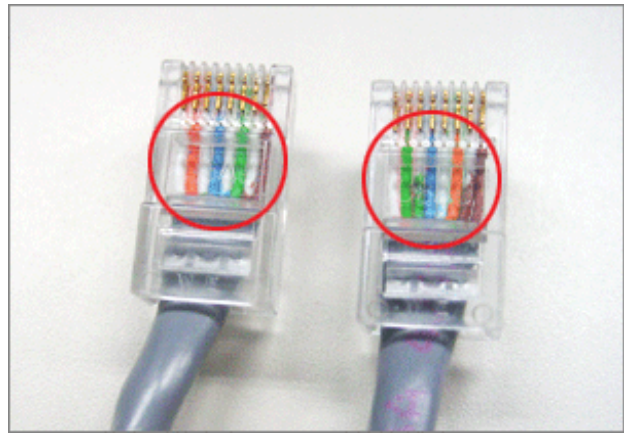
図2 画像処理装置(CV-3000)



図3 CCD カメラ



(a) ストレート LAN ケーブル



(b) クロス LAN ケーブル

図 4 LAN ケーブルの比較



図 5 USB-1208FS



図 6 USB6009



図7 大型低速風洞装置



図8 インバータ

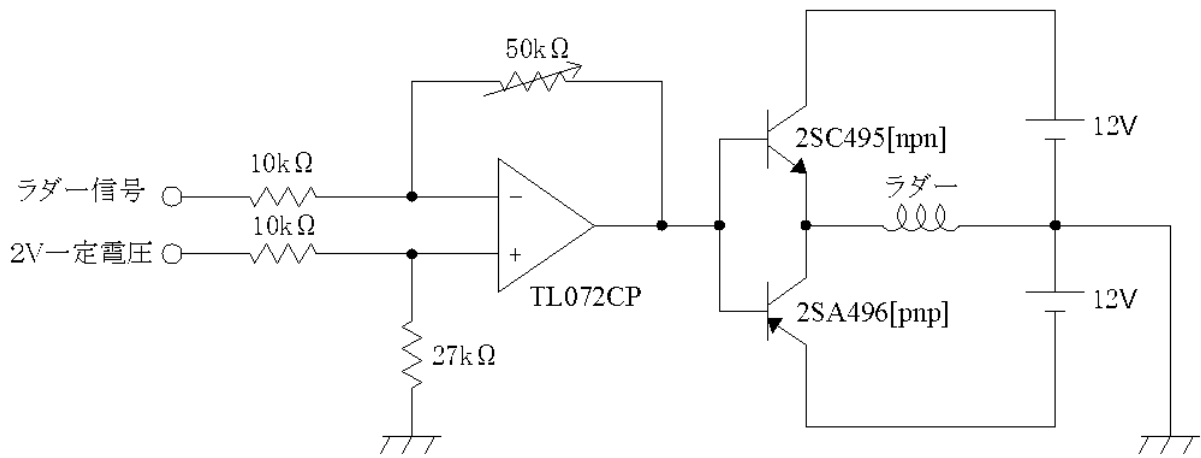


図9 電力増幅回路図

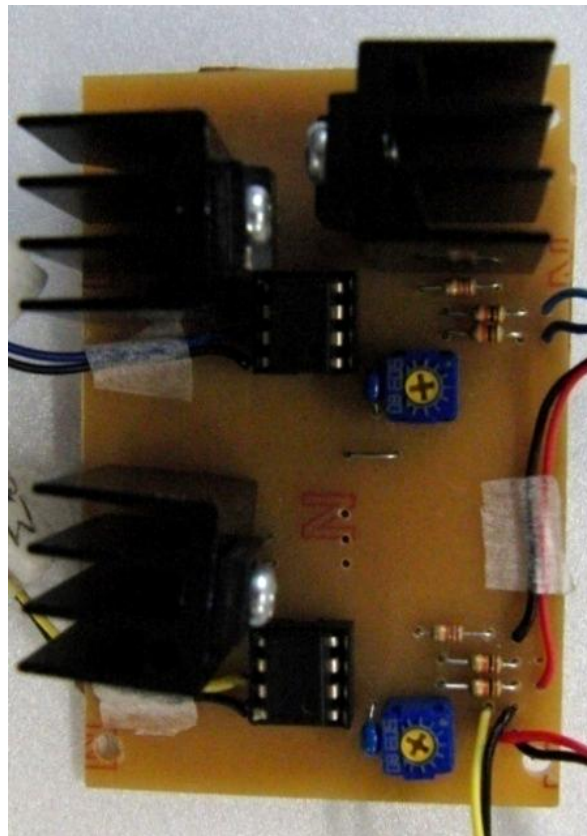


図10 電力増幅回路

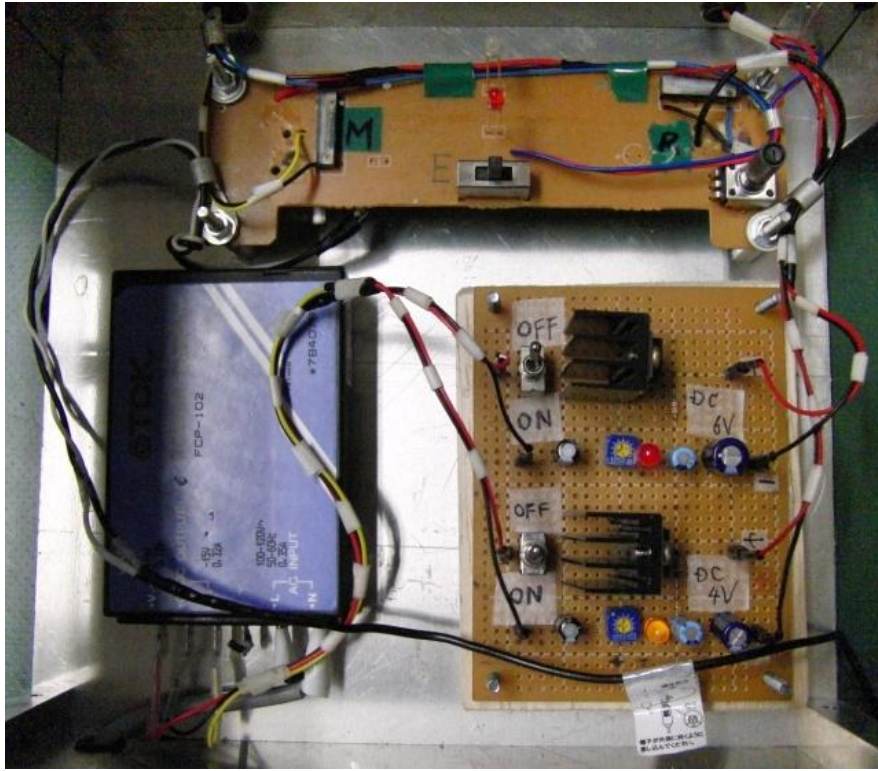


图 11 無線制御装置

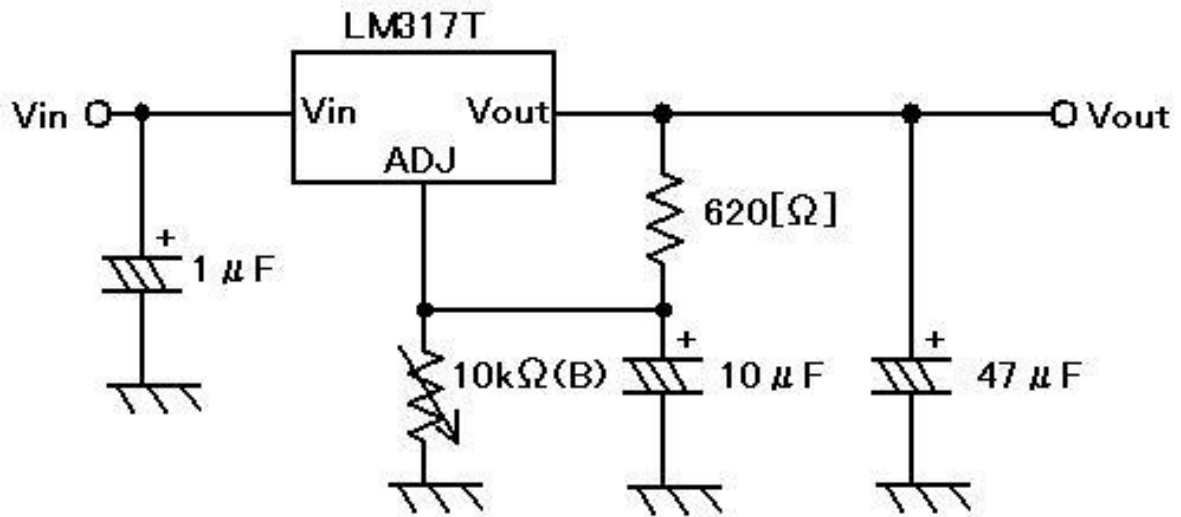


图 12 可変電圧回路図



固定翼機

ウルトラライトプレーン HF [タイヨー社製]

全翼長 : 270 [mm] 翼弦 : 85 [mm]

全長 : 220 [mm] 重量 : 11.8 [g]

図 13 固定翼機と仕様

第3章 LabVIEW 制御プログラム

3.1 LabVIEW について

LabVIEW とは Laboratory Virtual Instrumentation Engineering Workbench を略したものであり、National Instrument が開発した直感的でわかりやすいグラフィカルプログラム言語である。従来のプログラミング言語は文でプログラム作成するが、VI (Virtual Instrument) というアイコン同士を画面上で配線することでプログラムを作成することができ、初心者にはわかりやすい。

例として図 14 に示す。だが従来のプログラミング言語を学んだ者に対しては理解が難しい。VI は演算や定数や While ループなど多種多様であり、すべてを把握するのは容易ではない。しかし、ある程度 VI を把握していると数分でプログラムを作成することができる。入力や計算式や出力が多いほど VI が増え、線が複雑になってしまい、分かりにくくなってしまう。だがフォーミュラノードという言語を用いた VI で分かりやすくすることができる。例として図 15 に示す。

3.2 画像処理装置からのデータの計測

プログラムが複雑なため、VI が多く線が複雑になるので今回はサブ VI という VI を格納するプログラムを使用した。例として図 16 に示す。

計測の部分は画像処理装置 (CV-3000) から送られてくる 7 つのデータ [T1.+X.+Y.+θ.+X2.+Y2.+θ2.計測回数] を取り込み、要らない部分を省き、VI の配列を用いて X、Y、θ、 \cdot として一つ一つデータに分ける。分けたデータは計算や計測に使われる。計測におけるプログラムを図 17 に示す。

3.3 PD 制御による計算

計算では風洞における風速と周波数、サンプリングタイム、モータ制御電圧、ラダー制御電圧の補正ありと補正なしの 6 つの計算を行っている。補正ありでは式が多いため、フォーミュラノードを用いて作成を行った。計算におけるプログラムを図 18-1、18-2、18-3、18-4 に示す。

3.4 データの出力

出力では計算されたモータ制御電圧とラダー制御電圧、風洞制御のためのインバータにアナログ電圧、ラダー制御のためのアナログ電圧を出力している。LabVIEW では DAQ アシスタントという入力、出力専用 VI を用いることで出力を行っている。

DAQ アシスタントは簡易と上級があり、簡易の場合だと簡単に設定するだけで出力ができるが 100ms の遅れが発生するおそれがある。上級の場合だと細かい設定をしないと、上級 DAQ アシスタントはいくつかの VI で構成されるため、VI が多い。しかし遅れが発生する心配はない。出力におけるプログラムを図 19 に示す。

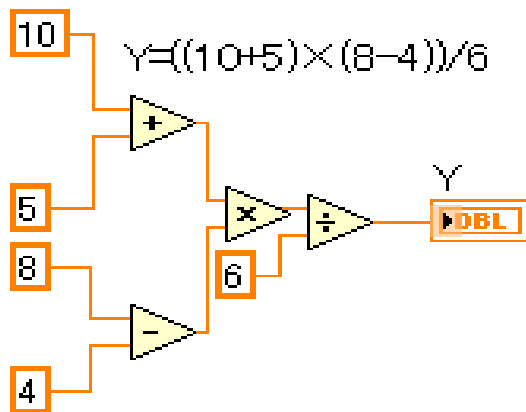


図 14 典型的な LabVIEW のプログラム

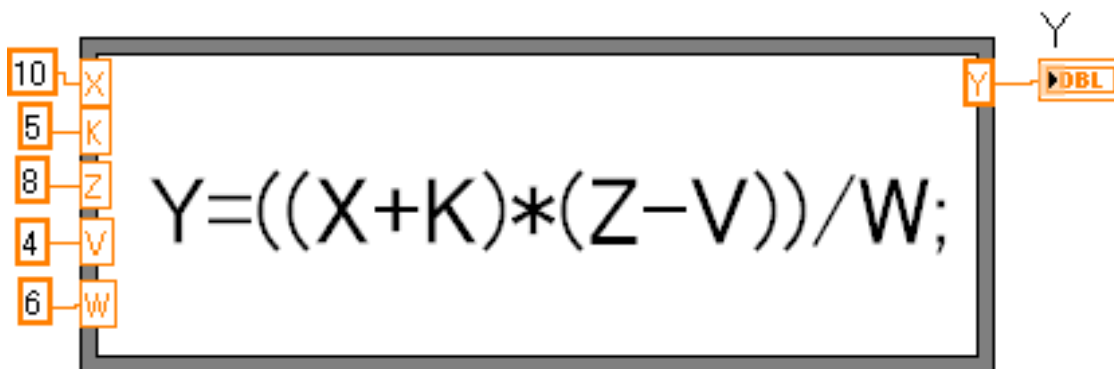


図 15 フォーマラノードを用いた LabVIEW のプログラムの例

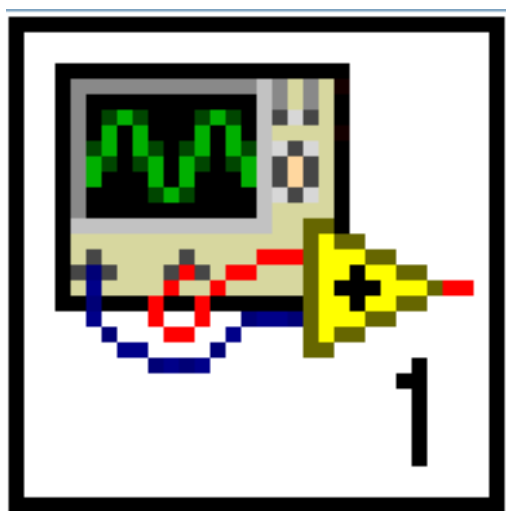


図 16 サブ VI

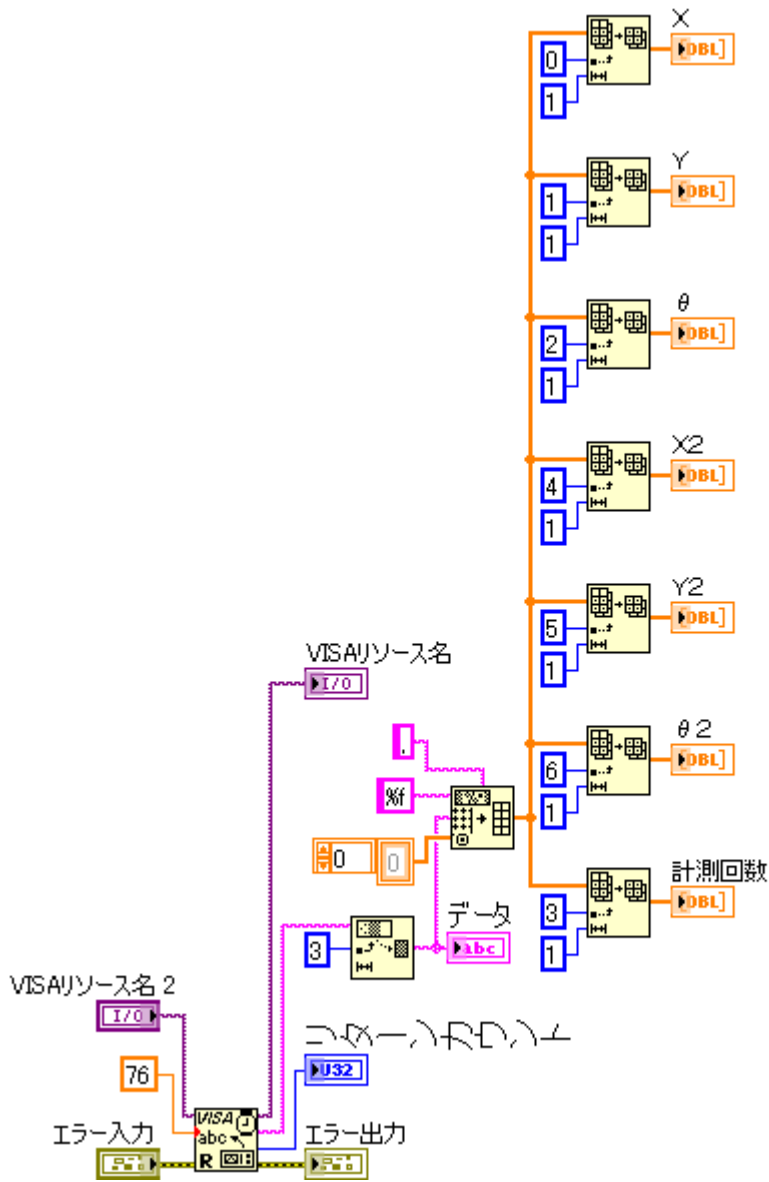


図 17 画像処理装置からのデータの計測プログラム

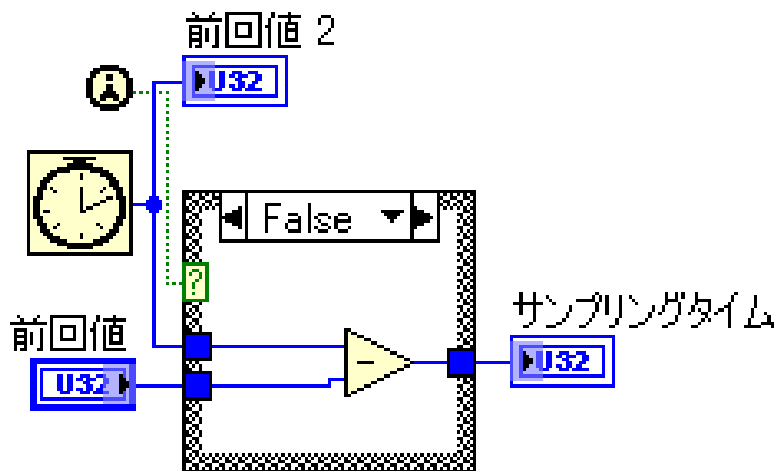


図 18-1 サンプリングタイムの時間の計算プログラム

$$\text{Motor out} = k_p2 * p2 + k_d2 * D2 + \text{Motor value}$$

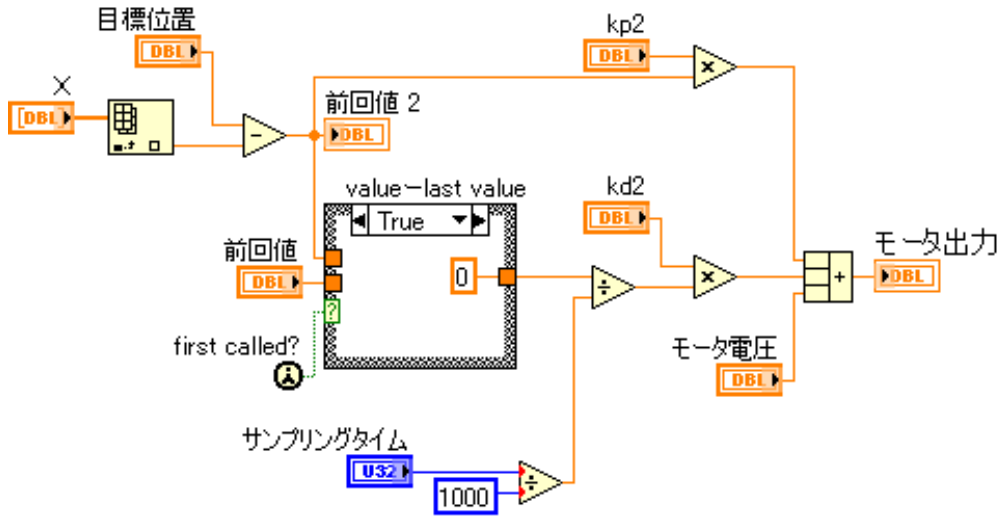


図 18-2 モータ制御電圧の計算プログラム

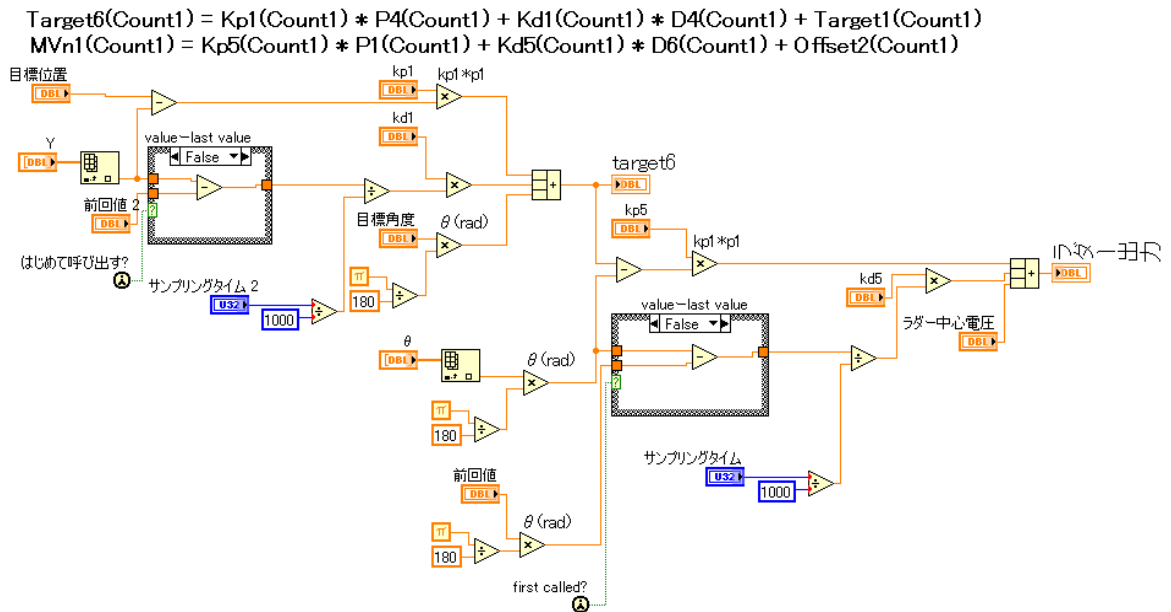


図 18-3 ラダー制御電圧の遅れ補正なしの計算プログラム



図 18-4 ラダー制御電圧の遅れ補正ありの計算プログラム

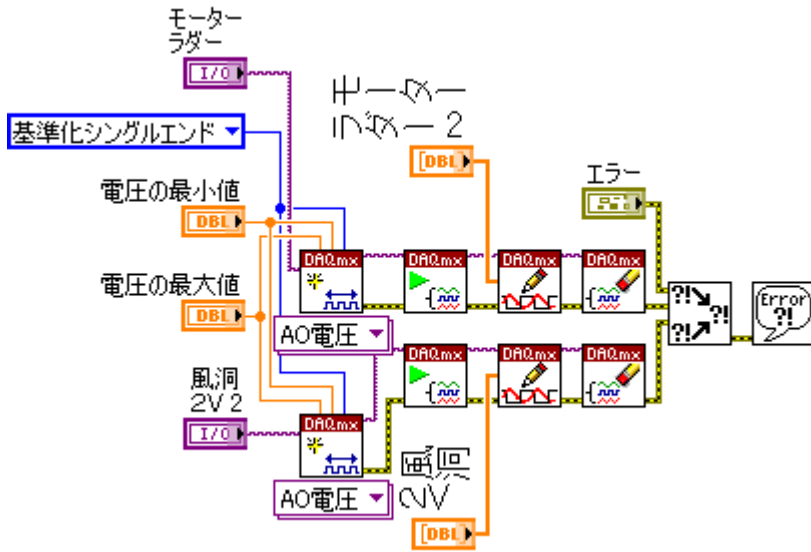


図 19 D/A 変換器へ出力するためのプログラム

図 20 飛行制御プログラムのフロントパネル

第4章 飛行体位置制御式の構築

4.1 飛行体のヨー角制御

機体の上面に取り付けてあるマーカーより機体のヨー角を検出し PD 制御を用いて常に機体の角度を一定に保てるように制御を行った。制御式は

$$V = K_{p\theta}(\theta_{ta} - \theta_n) + K_{d\theta} \left[\frac{\theta_n - \theta_{n-1}}{T_s} \right] \quad (4.1)$$

となっており、ここで V はラダーにかける電圧、 θ_{ta} が機体の目標角、 θ_n が現在の機体角、 θ_{n-1} が現在の機体角の1つ前の機体角、 T_s がサンプリングタイムである。

4.2 位置制御の構築

ヨー角制御のみでは、機体の位置は受動的に決まってしまう制御することができない。よって制御式に Y 座標を組み込み機体の位置を制御することにした。昨年度は機体の位置を制御するためにヨー角制御に位置制御を足し合わせた制御式である

$$V = K_{pY}(Y_{ta} - Y_n) + K_{dY} \left[\frac{Y_n - Y_{n-1}}{T_s} \right] + K_{p\theta}(\theta_{ta} - \theta_n) + K_{d\theta} \left[\frac{\theta_n - \theta_{n-1}}{T_s} \right] \quad (4.2)$$

を用いていた。ここで、 Y_{ta} が機体の目標位置、 Y_n が現在の機体位置、 Y_{n-1} が現在の機体位置の1つ前の機体位置である。

しかし、図 21 の実験結果を見て分かるように機体の位置を目標位置に安定飛行させるのが難しかった。

原因として、この制御式では2つの PD 制御が混同しているので、位置制御部分の制御ゲインを限りなく小さな値にしなければ飛行することができず、ほとんどヨー角制御と変わらない飛行になっていたことが考えられる。

そこでこの位置制御式を見直し、ヨー角制御部分の目標角に Y 座標を組み込むことで目標角を常に変更しつつ位置を制御するといった制御方法を行った。制御式は

$$V = K_{p\theta}(\theta_{ta} - \theta_n) + K_{d\theta} \left(\frac{\theta_n - \theta_{n-1}}{T_s} \right) \quad (4.3)$$

である。目標角 θ_{ta} の導き出す式は、

$$\theta_{ta} = K_{pY}(Y_{ta} - Y_n) + K_{dY} \left(\frac{Y_n - Y_{n-1}}{T_s} \right) \quad (4.4)$$

となっている。この位置制御式に変更することで飛行中に機体の位置を変更することが可能となった。図 22 では飛行中に機体の目標位置を変えて機体の位置をコントロールした実験結果を示す。

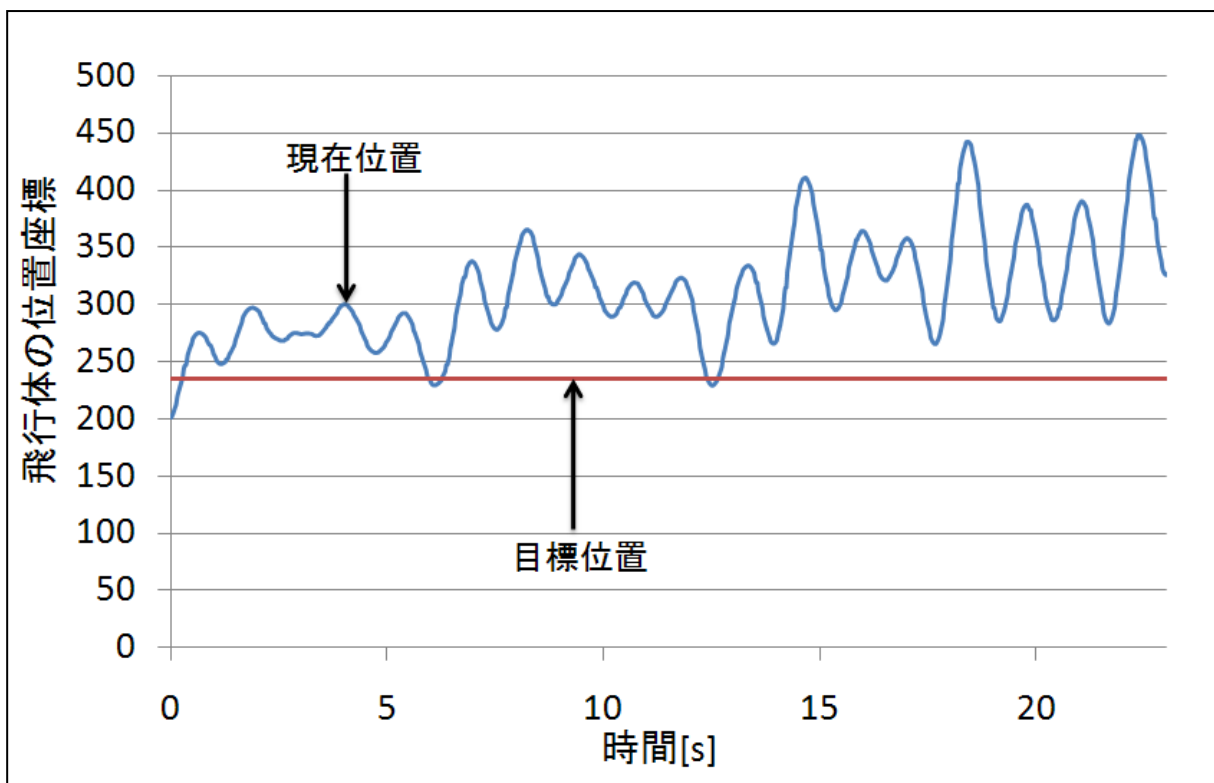


図 21 昨年度の位置制御結果

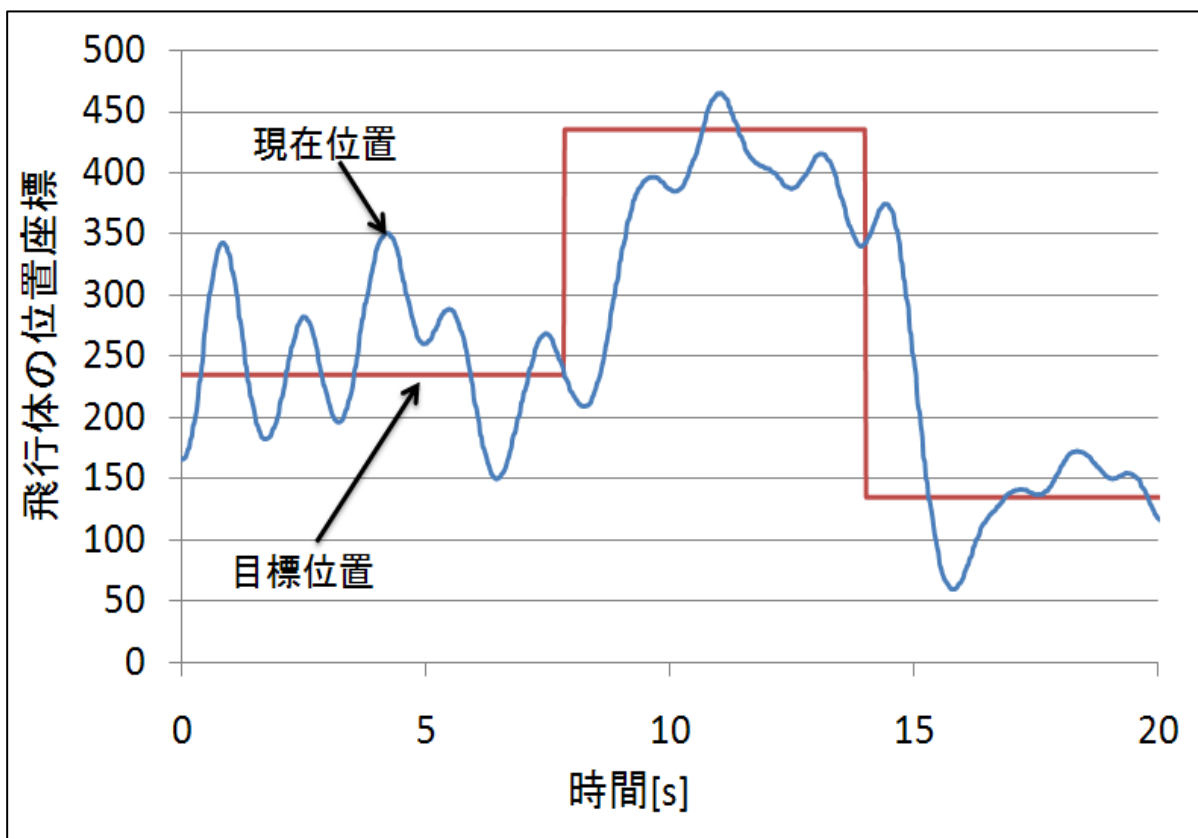


図 22 飛行中の機体のステップ応答

第5章 制御システムの遅れ

5.1 飛行システム全体の遅れ

現在の飛行制御システムでは画像処理装置から送られてくるヨー角と位置座標をもとにフィードバック制御を行っている。しかしこの情報に遅れが生じた場合、古い情報をもとに制御を行ってしまうので制御に悪影響を及ぼしてしまう。

そこで今回制御システムにどれほどの遅れがあるのか調査を行った。実験はまず制御システム全体の遅れを確認するため、機体を固定した状態でラダーにマーカを付け、PCから信号を送ってラダーを動かし、ラダーが動いた情報をPCが受け取るまでにどれほどの時間がかかるのかをステップ応答により調べた。実験の結果を図23に示す。実験の結果100msの遅れが確認できた。つまり、現在の制御システムは図24に示す通り100ms過去の値を用いてフィードバック制御を行っているということである。

また、この遅れがどこで発生しているのかを確認するための予備実験を行った。

5.2 画像処理部での遅れ

CCDカメラがマーカを読み、画像処理装置を通してPCに送られてくるまでの画像処理部での遅れがどれほどあるのかの確認を行った。

実験は固定した乾電池にマーカを付け、乾電池からの信号をPCでD/A変換器を通して受け取り、乾電池に衝撃を与えて弾き飛ばし、乾電池とD/A変換器との接点が断たれ信号がとぎれるのと乾電池が動き出す間の遅れを調べた。実験の結果を図25に示す。実験は数十回行い、結果75msの遅れが確認できた。

5.3 コントロール部での遅れ

実験に使用した飛行体のラダーの切り替えにはコイルアクチュエータを使用している、この間にどれほどの遅れが発生しているのか、ファンクションジェネレータとレーザー変位計とオシロスコープを用いて計測した。

実験の結果、信号を出しラダーが反応するまでに発生している遅れは25msほどであった。この遅れはコイルに電流が流れて、磁石が吸い寄せられるまでに起きているものと考えられる。結果を図26に示す。

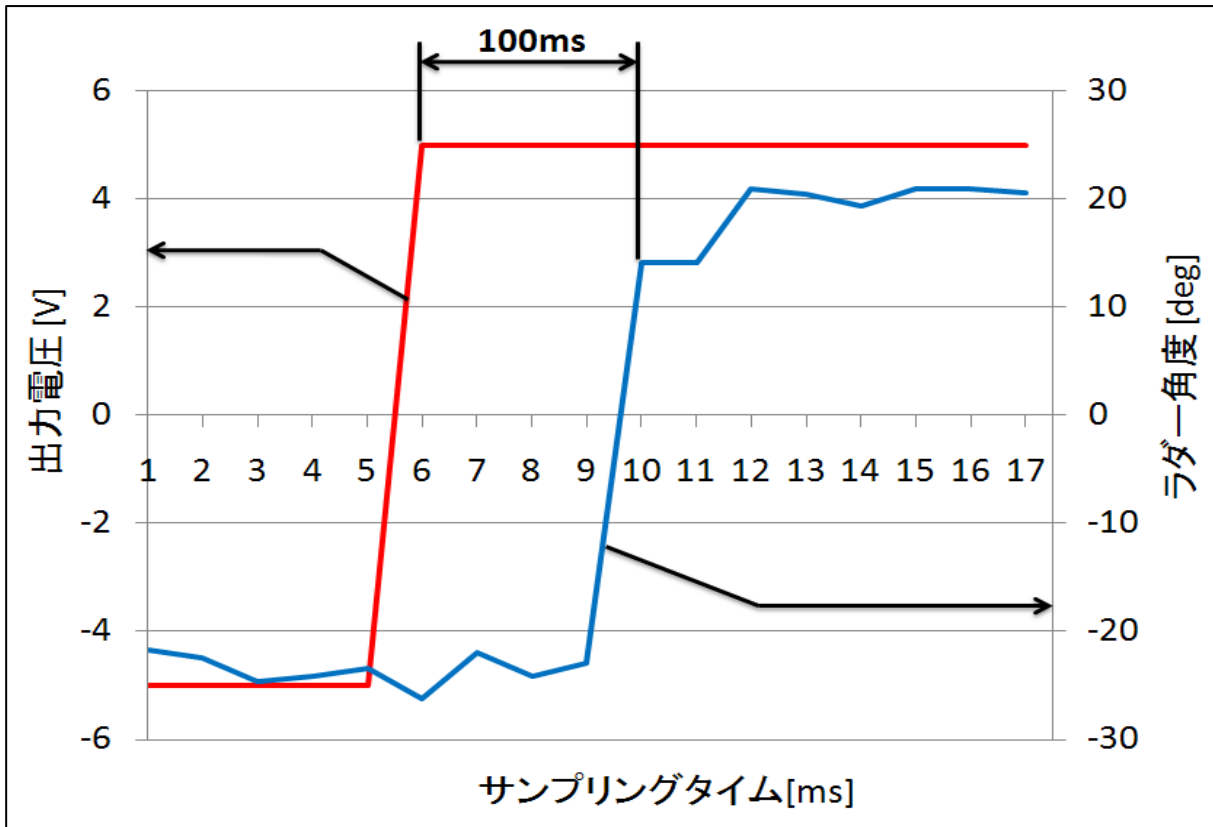


図 23 飛行システム全体の遅れ

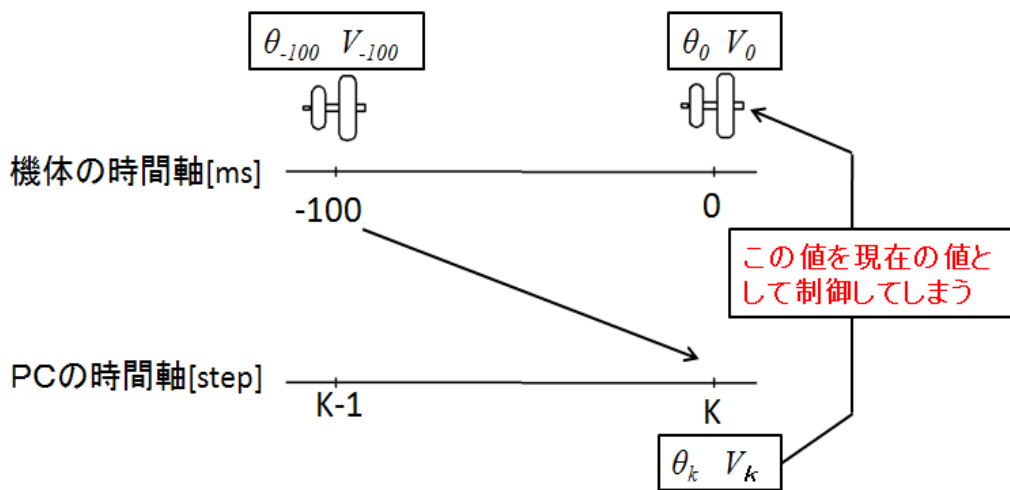


図 24 遅れ制御の様子

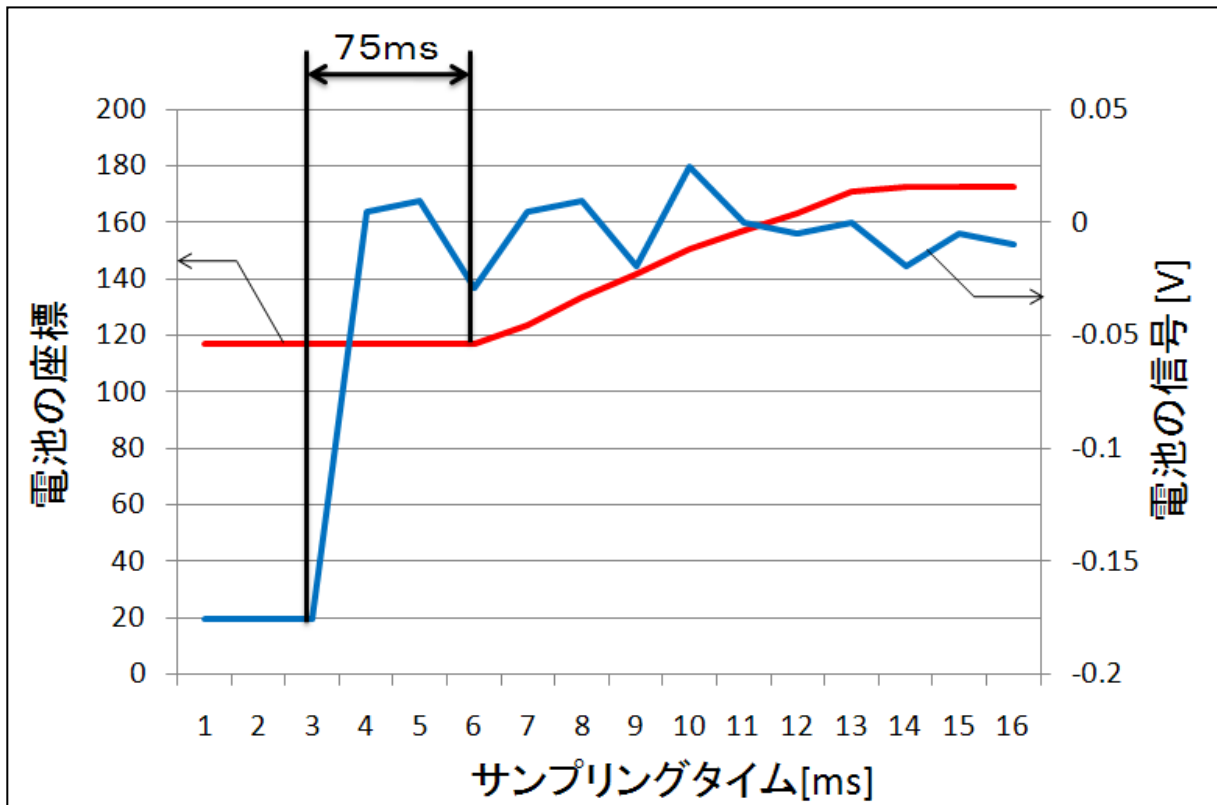


図 25 観測装置の遅れ

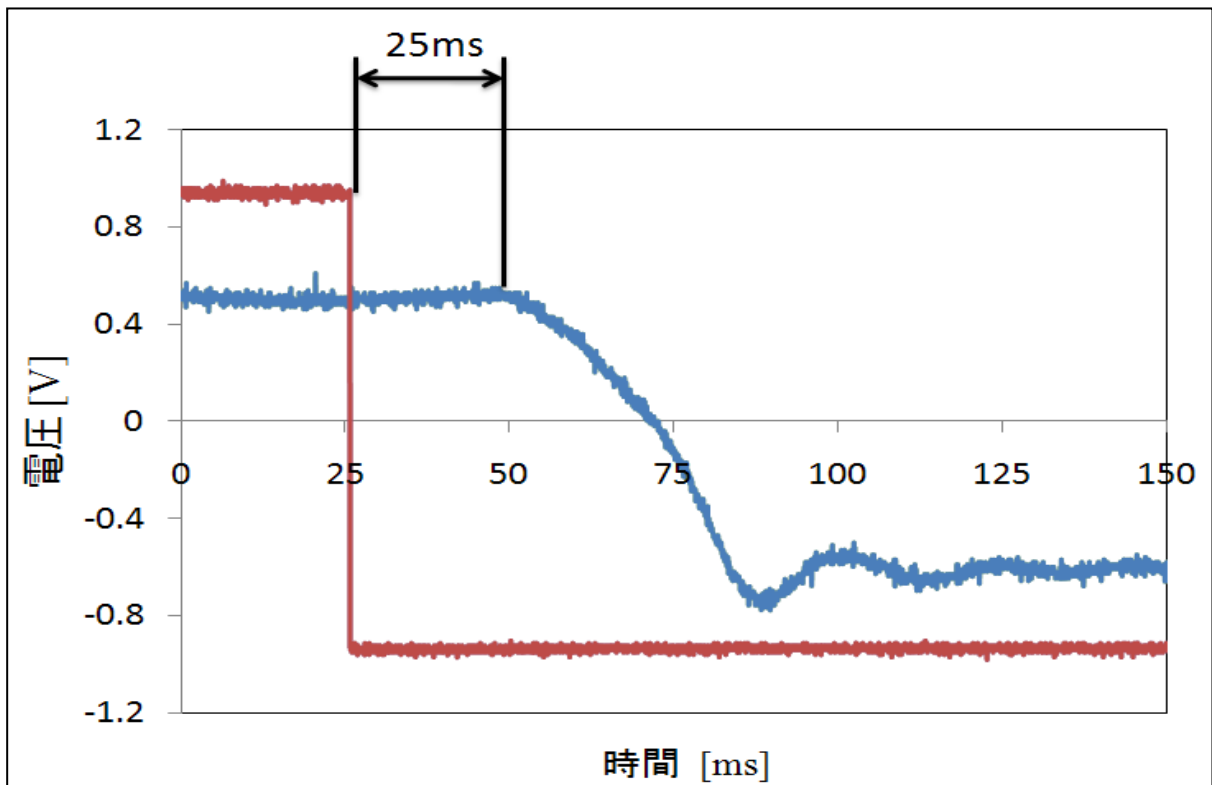


図 26 機体の反応遅れ

第6章 遅れ補正による機体のヨー角と位置座標の状態推定

6.1 遅れ補正式の概要

前章の実験より現在の飛行制御プログラムに 100ms の遅れがあることが分かった。よってさらなる飛行精度の向上のために、この遅れの補正を行うことにした。

現在の制御システムは離散時間系であり、サンプリングタイム間の電圧は常に一定である。よって運動方程式から過去の値をもとに現在のヨー角と位置座標の推定値を算出しその値をもとに制御を行った。

6.2 機体のヨー角の遅れ補正式の構築

ラダーによる機体のトルクが、機体の慣性モーメントと機体の加速度との比例関係にあることから

$$J\ddot{\theta} = \tau V \quad (6.1)$$

の式が成り立つ。ここで機体の角加速度が $\ddot{\theta}$ 、機体の慣性モーメントが J 、1ボルトあたりのトルクが τ 、電圧が V である。この式を展開して

$$\ddot{\theta} = \frac{\tau}{J} V \quad (6.2)$$

とする。ここで τ/J を C_θ とおき、 C_θ については過去の実際に飛行したデータから同定する。

また電圧 V は過去のヨー角をもとに出力する値なので V_{k-1} とし、そこから算出される機体の角加速度は現在の推定値であるので $\hat{\ddot{\theta}}$ とする。よって

$$\hat{\ddot{\theta}} = C_\theta V_{k-1} \quad (6.3)$$

とし、この式を2階積分することで現在のヨー角の推定値を算出する積分過程は

$$\hat{\dot{\theta}} = C_\theta V_{k-1} T_s + \frac{\theta_k - \theta_{k-1}}{T_s} \quad (6.4)$$

$$\hat{\theta} = \frac{1}{2} C_\theta V_{k-1} T_s^2 + \frac{\theta_k - \theta_{k-1}}{T_s} T_s + \theta_k \quad (6.5)$$

となっており、ここで $\hat{\theta}$ が現在のヨー角の推定値、 T_s がサンプリングタイムである。

6.3 過去の飛行データによる C_θ の同定

式(6.5)で用いている C_θ については過去の飛行したデータから、実際にラダーに電圧をかけて機体のヨー角がどのように変化していったかが分かるので同定を行った。サンプリングタイムごとに保存されているヨー角 $\theta_0 \rightarrow \theta_1 \rightarrow \theta_2 \rightarrow \dots \rightarrow \theta_n$ があり、それぞれに式(6.5)を適用すると、

$$\theta_1 = \frac{1}{2}C_{\theta}V_0T_s^2 + \dot{\theta}_0T_s + \theta_0 \quad (6.6)$$

$$\theta_2 = \frac{1}{2}C_{\theta}V_1T_s^2 + \dot{\theta}_1T_s + \theta_1 \quad (6.7)$$

・
・
・

となる。ここで式(6.7)に

$$\dot{\theta}_1 = C_{\theta}V_0T_s + \dot{\theta}_0 \quad (6.8)$$

を代入して

$$\theta_2 = \frac{1}{2}C_{\theta}V_1T_s^2 + (C_{\theta}V_0T_s + \dot{\theta}_0)T_s + \theta_1 \quad (6.9)$$

を得る。式(9)に式(6)を展開した

$$\dot{\theta}_0 = \frac{\theta_1 - \frac{1}{2}C_{\theta}V_0T_s^2 - \theta_0}{T_s} \quad (6.10)$$

を代入し

$$\theta_2 = \frac{1}{2}C_{\theta}V_1T_s^2 + (C_{\theta}V_0T_s + \left(C_{\theta}V_0T_s + \frac{\theta_1 - \frac{1}{2}C_{\theta}V_0T_s^2 - \theta_0}{T_s}\right)T_s + \theta_1 \quad (6.11)$$

を得る。この式(11)を展開して

$$\left\{\frac{1}{2}(V_1 + V_0)T_s\right\}C_{\theta} = 2\theta_2 - 2\theta_1 + \theta_0 \quad (6.12)$$

とする。ここで、

$$\left\{\frac{1}{2}(V_1 + V_0)T_s\right\} = \alpha \quad (6.13)$$

$$2\theta_2 - 2\theta_1 + \theta_0 = \beta \quad (6.14)$$

とおき、式(12)を

$$\alpha C_{\theta} = \beta \quad (6.15)$$

とし、 C_{θ} について展開して

$$C_{\theta} = \frac{\beta}{\alpha} \quad (6.16)$$

と変形する。この C_{θ} について

$$C_{\theta 1} = \frac{\beta_1}{\alpha_1}$$

$$C_{\theta 2} = \frac{\beta_2}{\alpha_2}$$

$$C_{\theta 3} = \frac{\beta_3}{\alpha_3}$$

・
・
・

$$C_{0n} = \frac{\beta_n}{\alpha_n}$$

と各サンプリングタイム間の値を計算し平均を算出した。

6.4 機体の位置(Y座標)の遅れ補正式の構築

位置座標つまり Y 軸の値の状態推定に関して、運動方程式より物体の力が質量と加速度との比例関係にあることから、ラダーによる機体の横方向の力が機体の質量と Y 軸の加速度との比例関係にあることがいえる。この関係により

$$F_R \theta = m \hat{Y} \quad (6.17)$$

が成り立つ。ここで、 $F_R \theta$ がラダーによる機体の横方向の力、 \hat{Y} が機体の Y 軸の加速度の推定値、 θ が機体のヨー角である。この式(6.17)を展開して

$$\hat{Y} = \frac{m}{F_R} \theta \quad (6.18)$$

とする。またここで $m/F_R = C_Y$ とおき式(6.18)を

$$\hat{Y} = C_Y \theta \quad (6.19)$$

とし、2階積分することで現在の Y 座標の推定値を算出する積分過程は

$$\dot{\hat{Y}} = C_Y \theta_k T_s + \frac{Y_k - Y_{k-1}}{T_s} \quad (6.20)$$

$$\hat{Y} = \frac{1}{2} C_Y \theta_k T_s^2 + \frac{Y_k - Y_{k-1}}{T_s} T_s + Y_k \quad (6.21)$$

となっており、ここで \hat{Y} が現在の Y 座標の推定値、 T_s がサンプリングタイムである。

6.5 過去の飛行データによる C_Y の同定

式(6.21)で用いている C_Y についても 6.3 同様に過去の飛行したデータから、実際にラダーに電圧をかけて機体の Y 座標がどのように変化していったかが分かるので同定を行った。サンプリングタイムごとに保存されている Y 座標 $Y_0 \rightarrow Y_1 \rightarrow Y_2 \rightarrow \dots \rightarrow Y_n$ があり、それぞれに式(6.21)を適用すると

$$Y_1 = \frac{1}{2} C_Y \theta_0 T_s^2 + \dot{Y}_0 T_s + Y_0 \quad (6.22)$$

$$Y_2 = \frac{1}{2} C_Y \theta_1 T_s^2 + \dot{Y}_1 T_s + Y_1 \quad (6.23)$$

・
・

となる。ここで式(6.23)に

$$\dot{Y}_1 = C_Y \theta_0 T_s + \dot{Y}_0 \quad (6.24)$$

を代入して

$$Y_2 = \frac{1}{2} C_Y \theta_1 T_s^2 + (C_Y \theta_0 T_s + \dot{Y}_0) T_s + Y_1 \quad (6.25)$$

を得る。式(6.25)に式(6.22)を展開した

$$\dot{Y}_0 = \frac{Y_1 - \frac{1}{2} C_Y \theta_0 T_s^2 - Y_0}{T_s} \quad (6.26)$$

を代入し

$$Y_2 = \frac{1}{2} C_Y \theta_1 T_s^2 + (C_Y \theta_0 T_s + \left(C_Y \theta_0 T_s + \frac{Y_1 - \frac{1}{2} C_Y \theta_0 T_s^2 - Y_0}{T_s} \right) T_s + Y_1 \quad (6.27)$$

を得る。この式(6.27)を展開して

$$\left\{ \frac{1}{2} (\theta_1 + \theta_0) T_s \right\} C_Y = 2Y_2 - 2Y_1 + Y_0 \quad (6.28)$$

とする。ここで、

$$\left\{ \frac{1}{2} (\theta_1 + \theta_0) T_s \right\} = \alpha \quad (6.29)$$

$$2Y_2 - 2Y_1 + Y_0 = \beta \quad (6.30)$$

とおき、式(6.28)を

$$\alpha C_Y = \beta \quad (6.31)$$

とし、 C_Y について展開して

$$C_Y = \frac{\beta}{\alpha} \quad (6.32)$$

と変形する。この C_Y について

$$C_{Y1} = \frac{\beta_1}{\alpha_1}$$

$$C_{Y2} = \frac{\beta_2}{\alpha_2}$$

$$C_{Y3} = \frac{\beta_3}{\alpha_3}$$

•

•

•

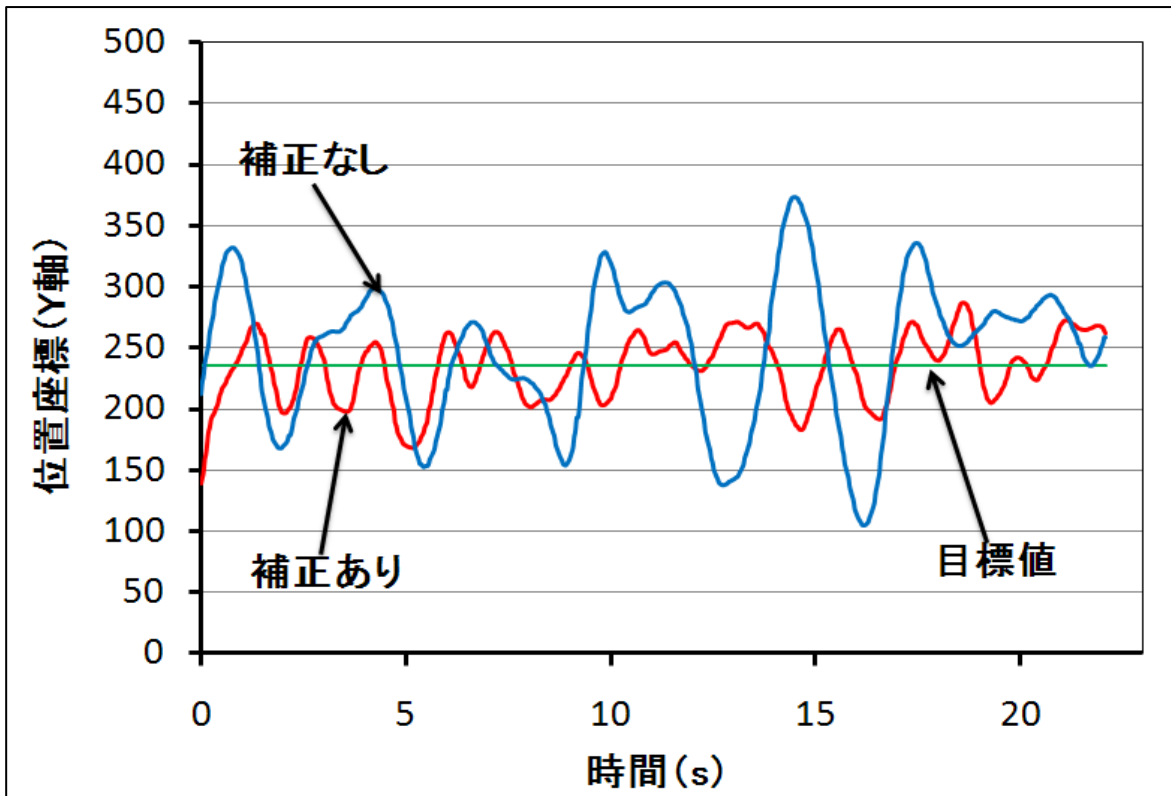
$$C_{Yn} = \frac{\beta_n}{\alpha_n}$$

と各サンプリングタイム間の値を計算し平均を算出した。

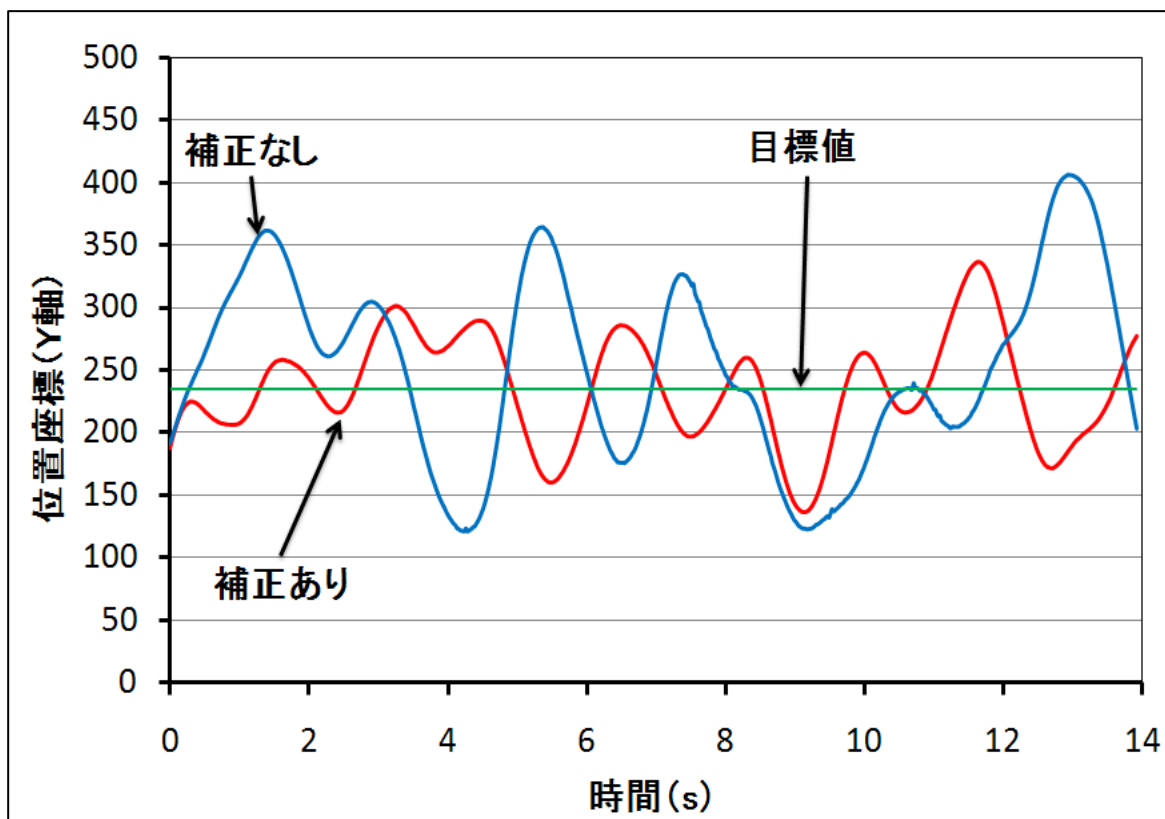
6.6 ヨー角と Y 座標の遅れ補正導入による飛行実験結果

実験は同じ機体で補正なしとありの場合で 10 回行いそれぞれの標準偏差の平均を計算した。その結果 Visual Basic を用いた場合、補正なしの場合 44.2 で、補正ありの場合 32.6 となった。

LabVIEW に関しても遅れ補正式を導入することで、補正なしが 51.8 、補正ありが 46.8 の標準偏差となり遅れ補正を導入することで目標位置に対しての安定度が向上した。実験の結果を図 27 に示す。



(a) Visual Basic での遅れ補正導入の実験結果



(b) LabVIEW での遅れ補正導入の実験結果

図 27 遅れ補正導入の実験結果

第7章 画像処理部の変更による遅れの改善

7.1 デジタル I/O による通信速度向上の検証

LabVIEWにて、Ethernet 接続を行っていたが遅れが大幅に発生したため、デジタル I/O 接続を行った。デジタル I/O 接続は KEYENCE 社専用パラレル接続ケーブル(OP-51657) を使い通信させるケーブルであり、特徴としては 10 進数で送られてくるデータを 2 進数にし、上位バイトと下位バイトに分け、送るものである。

デジタル I/O を図 28 に示す。画像処理装置内で 2 進数から 10 進数に変換する手間が省かれるため、USB より速い。デジタル I/O 接続は 40 ピンの接続ができるが今回はデータの取り込みと接続するのが D/A 変換器のため、接続が限られる。よって 24~40 ピンだけを使うことにする。2 台の D/A 変換器を使い、8 つずつ分け接続を行った。送られてきた上位バイトと下位バイトの 2 進数を結合させ、10 進数に変換することで正規のデータとなる。だが X、Y だけで通信させた結果、不規則に同じ値を出すため、計算に用いることはできない。この問題を表 1 に示す。改善を試みたが問題解決までは至らなかった。

7.2 CV-5000 導入による実験結果

遅れの確認の予備実験により画像処理部に 75ms の遅れがあることが分かった。現在の制御システムでは画像処理装置に KEYENCE 製の CV-3000 を用いている。

今回この遅れを改善するために CV-3000 の後継機である CV-5000 (図 29) を用いて遅れの確認の予備実験を行った。実験を数十回行った結果、遅れが 50ms となり 1 ステップ速くなっていることが分かった。これは、CV-3000 のトリガ間隔が 21ms なのに対して CV-5000 のトリガ間隔が 10ms と向上しているからではないかと考えられる。

また機体を固定したうえでマーカの読み取り精度の誤差を調べたところ標準偏差が CV-3000 は 0.241 で CV-5000 が 0.079 と向上していることが分かった。

7.3 シーケンサ導入による通信速度向上の実験

現在の制御システムは画像処理装置からの計測値を USB から Windows 上の LabVIEW または Visual Basic のプログラムで取り込み再び USB を通して D/A 変換器に送っている。

ここでの処理の高速化を図るため今回 KEYENCE 社よりシーケンサを借用して処理速度がどれほど向上するのかの実験を行った。借用したシーケンサである KV-5000 (図 31) は D/A ユニット、A/D ユニットが装着可能であり、この KV-5000 ひとつで今まで Windows 上で行っていた処理がすべて可能となった。

実験の結果、従来の制御システムでは最大サンプリング速度が 25ms であったのに対して KV-5000 導入により最大サンプリング速度が 0.3ms と大幅に向上することが分かった。

5.3 節同様の観測の遅れの確認実験を行ったところ、従来のシステムで 75ms あった遅れがシーケンサの導入で CV-3000 とのリンクの場合 43ms で CV-5000 とのリンクの場合 30ms になることが分かった。実験の結果を図 32 に示す。



図 28 デジタル I/O ケーブル

表 1 デジタル I/O の問題点

座標データ	下位 16 ビット	上位 16 ビット
177502	46430	2
177389	46317	2
210620	14012	3
210512	13904	3



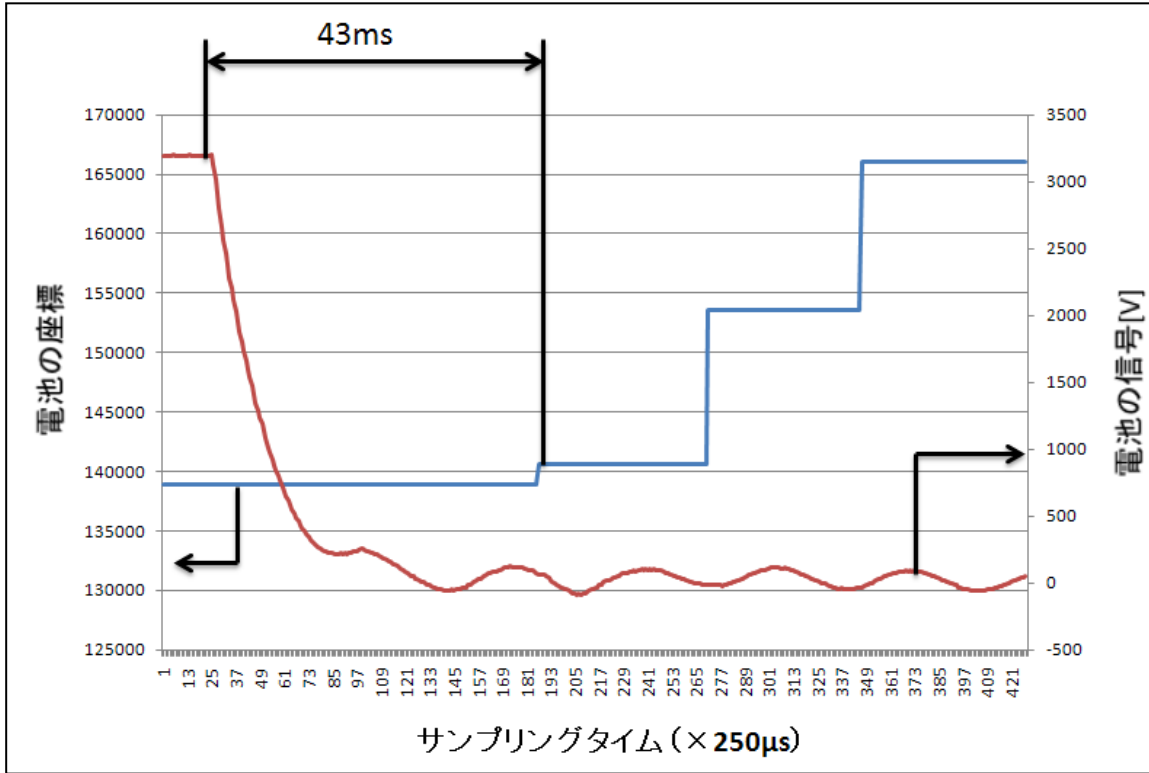
図 29 画像処理装置 (CV-5000)



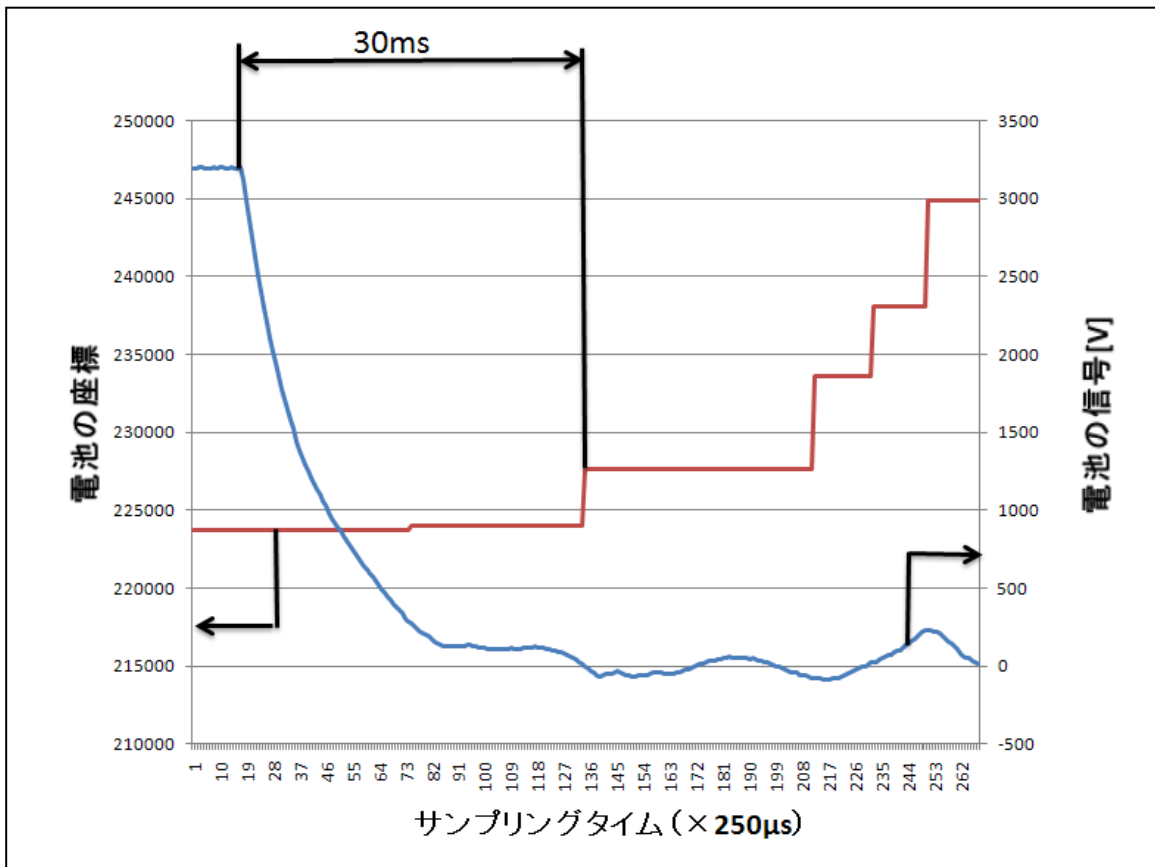
図 30 CCD カメラ



図 31 画像処理装置 (CV-5000)



(a) シーケンサと CV-3000 のリンク時の遅れ



(b) CV-5000 のリンク時の遅れ

図 32 シーケンサと画像処理装置のリンク時の遅れ

第8章 結言

今回、位置制御式の見直しと遅れ補正の導入により飛行精度の向上に成功した。また、LabVIEWを用いた位置制御プログラムを完成させ、遅れ補正を行い飛行させる事ができた。

今後の課題として二枚翼羽ばたき飛行機を制作し、実験に導入することで飛行時における重心の変化や翼のトルクを計測し羽ばたき飛翔体の飛行メカニズムを解明すること。シーケンサによる高速処理ができる飛行制御プログラムを完成させ、さらなる飛行精度向上を目指したいと検討している。

LabVIEW に関してもシステム内の遅れをプログラムの見直しとデジタル I/O の導入により改善することを考えている。

謝辞

本研究を進めていくうえで、多大なご指導ご指摘をして頂いた。河村良行教授に深く感謝の意を表します。

情報システム工学科の辻輝生教授に飛行体の位置制御式の見直し、遅れ補正による状態推定のアルゴリズムについて多大なご指導をして頂いたことを、深く感謝いたします。

プログラミング、飛行実験、機体の改良を通してお世話になった指導院生の柴田光紀先輩に深く感謝いたします。

最後に同じ研究室で1年間研究をともにし、協力し合った河村研究室卒研究生全員に深く感謝の意を表します。

付録

付録 1 飛行制御プログラム (Visual Basic)

付録 2 制御パネル (Visual Basic)

付録 3 飛行制御プログラム (LabVIEW)

付録 4 データ保存プログラム (LabVIEW)

付録 4 飛行制御プログラム
(KV-5000 ラダープログラム)

付録1 飛行制御プログラム (Visual Basic)

Public Class 飛行機制御

```
Private stopWatch As Diagnostics.Stopwatch ' 時間計測の為の宣言
文
Dim Buffer As Object ' 受信バッファの宣言
Dim Time1(100000), Time2(100000), Time5(100000) As Single ' 時間定義の為の変数
Dim X_1(100000), Y_1(100000), Angle1(100000), X_2(100000), Y_2(100000), Angle2(100000) As
Single
' CV-3000のデータ格納用変数
Dim Target1(100000), Target2(100000), Target3(100000), Target4(100000), Target5(100000),
Target6(100000) As Single
' 制御目標値の変数宣言
Dim Value1(100000), Value2(100000), Value3(100000), Value1h(100000), Value1hh(100000),
Value1hhh(100000), Value1hhhh(100000), Value1hhhhh(100000), Value3h(100000), Value3hh(100000),
Value3hhh(100000), Value3hhhh(100000), Value3hhhhh(100000) As Single
' 現在値の変数宣言
Dim Count1 As String ' プログラムの実行回
数カウント

' 各電圧オフセット設定、入力電圧、モータ電流・電圧、風洞風速変数宣言
Dim Offset1(100000), Offset2(100000), Vin1(100000), Vin2(100000) As Single
Dim Ma(100000), Mv(100000), WS(100000), Count(100000) As Single

' PID制御値の変数宣言
Dim Kp1(100000), Kd1(100000), Ki1(100000), C1(100000), C2(100000), Ts1(100000) As Single
' 制御値の変数宣言
Dim Kp2(100000), Kd2(100000), Ki2(100000) As Single ' 制御
値の変数宣言
Dim Kp3(100000), Kd3(100000), Ki3(100000) As Single ' 制御
値の変数宣言
Dim Kp4(100000), Kd4(100000) As Single ' 制御
値の変数宣言
Dim Kp5(100000), Kd5(100000) As Single ' 制御
値の変数宣言
Dim P1(100000), D1(100000), I1(100000), D4h(100000), D4hh(100000), D4hhh(100000),
D4hhhh(100000), D4hhhhh(100000) As Single ' 制御値の変数宣言
Dim P2(100000), D2(100000), I2(100000) As Single ' 制御
値の変数宣言
Dim P3(100000), D3(100000) As Single ' 制御
値の変数宣言
```

```

    Dim P4(100000), D4(100000) As Single ' 制御
値の変数宣言
    Dim P5(100000), D5(100000), D6(100000), D6h(100000), D6hh(100000), D6hhh(100000),
D6hhhh(100000), D6hhhhh(100000) As Single ' 制御
値の変数宣言
    Dim dt, dv1, dv2, dv3, dv4, dv5 As Single ' 制御
値の変数宣言
    Dim MVn1(100000), MVn2(100000), MVn3(100000), MVn4(100000), MVn5(100000), MVn1p(100000),
MVn1pp(100000), MVn1ppp(100000), MVn1pppp(100000) As Single ' 制御値の変数宣言
    Dim yaw_angle(100000) As Single ' 制御
値の変数宣言
    Dim deg1(100000), deg2(100000) As Single ' 制御
値の変数宣言
    Dim v As Single ' 制御
値の変数宣言

' =====D/Aボード宣言
=====
' ボード宣言
Dim ULStat As MccDaq.ErrorInfo
Private DaqBoard0 As MccDaq.MccBoard = New MccDaq.MccBoard(0) ' AD/DA変換機台
目の宣言
Private DaqBoard1 As MccDaq.MccBoard = New MccDaq.MccBoard(1) ' AD/DA変換機台
目の宣言

Dim DataValuesIn(16) As System.UInt16 ' データの構造宣
言
Dim DataValuesOut(4) As System.UInt16 ' データの構造宣
言
Dim EngUnitsin(16) As Single ' 検出電圧の変数
宣言
Dim Engunitsout(4) As Single ' 検出電圧の変数
宣言

' ポート数設定
Dim ChanIn1 As Integer = 0 ' 入力ポート
Dim ChanIn2 As Integer = 1

Const Chan1 As Integer = 0 ' 出力ポート
Const Chan2 As Integer = 1

' レンジ設定
Const Range1 As MccDaq.Range = MccDaq.Range.Bip10Volts ' 入力ポートの

```

電圧宣言 (±V)

```
Const Range As MccDaq.Range = MccDaq.Range.Uni4Volts
```

'出力電圧Vにレ

ンジ設定

```
'=====CV-3000コントロール  
=====
```

```
Private Sub Form1_Load(ByVal sender As System.Object, ByVal e As System.EventArgs) Handles  
MyBase.Load
```

```
'MSCommコントロールの初期設定()
```

```
msSerial.CommPort = 3
```

'通信ポートNo3

指定

```
msSerial.Settings = "9600,n,8,1"
```

'通信条件設定

```
msSerial.Handshaking = MSCommLib.HandshakeConstants.comNone
```

'フロー制御無し

```
msSerial.RTSEnable = False
```

'RTS制御無し

```
msSerial.RThreshold = 1
```

'1バイト受信毎

にOnCommイベント発生

```
msSerial.SThreshold = 1
```

'送信バッファ空

でOnCommイベント発生

```
stopWatch = New Diagnostics.Stopwatch()
```

'時計測関数の

呼び出し

```
stopWatch.Start()
```

```
End Sub
```

```
Private Sub msSerial_OnComm(ByVal sender As System.Object, ByVal e As System.EventArgs)  
Handles msSerial.OnComm
```

```
'CommEventプロパティに対する処理
```

```
Select Case msSerial.CommEvent
```

'イベントの区分

```
Case MSCommLib.OnCommConstants.comEvCD
```

'何もしない

```
Case MSCommLib.OnCommConstants.comEvCTS
```

```
Case MSCommLib.OnCommConstants.comEvDSR
```

```
Case MSCommLib.OnCommConstants.comEvRing
```

```
Case MSCommLib.OnCommConstants.comEvReceive
```

'受信データを表

示

```
Buffer = msSerial.Input
```

```
CV3000.Text = Buffer
```

```
Case MSCommLib.OnCommConstants.comEvSend
```

```
Case MSCommLib.OnCommConstants.comEvEOF
```

```
End Select
```

```
End Sub
```

#Region "Universal Library Initialization - Expand this region to change error handling, etc."

Private Sub InitUL()

Dim ULStat As MccDaq.ErrorInfo

' declare revision level of Universal Library

ULStat = MccDaq.MccService.DeclareRevision(MccDaq.MccService.CurrentRevNum)

' Initiate error handling

' activating error handling will trap errors like

' bad channel numbers and non-configured conditions.

' Parameters:

' MccDaq.ErrorReporting.PrintAll :all warnings and errors encountered will be printed

' MccDaq.ErrorHandling.StopAll :if any error is encountered, the program will stop

ULStat = MccDaq.MccService.ErrHandling(MccDaq.ErrorReporting.PrintAll,

MccDaq.ErrorHandling.StopAll)

If ULStat.Value <> MccDaq.ErrorInfo.ErrorCode.NoErrors Then

Stop

End If

End Sub

#End Region

Private Sub TextControl()

' =====
' ===== テキスト表示 =====
' =====

' 座標

X1_txt.Text = X_1(Count1) ' カメラのX座標

Y1_txt.Text = Y_1(Count1) ' カメラのY座標

X2_txt.Text = X_2(Count1) ' カメラのX座標

Y2_txt.Text = Y_2(Count1) ' カメラのY座標

Value4_txt.Text = Y_2(Count1) ' カメラのY座標

```

' 角度「deg」
deg01_txt.Text = Angle1(Count1) * 180 / 3.1415 ' カメラの主軸角
deg02_txt.Text = Angle2(Count1) * 180 / 3.1415 ' カメラの主軸角
yaw_angle(Count1) = deg01_txt.Text ' 現在値*****
Value1_txt.Text = Value1(Count1) * 180 / 3.1415 ' カメラの主軸角
Value2_txt.Text = Value2(Count1) ' カメラのX座標
Value3_txt.Text = Value3(Count1) ' カメラのY座標

```

deg1(Count1) = Angle1(Count1) * 180 / 3.1415 ' 角度をradからdeg表示し、Excelデータ出力に(制御計算に関係なし)

deg2(Count1) = Angle2(Count1) * 180 / 3.1415 ' 角度をradからdeg表示し、Excelデータ出力に(制御計算に関係なし)

```

' -----電圧出力-----

```

```

RudderVoltage_txt.Text = MVn1(Count1) ' ラダー出力
MotorVoltage_txt.Text = MVn2(Count1) ' モータ出力
Position_txt.Text = MVn1(Count1) ' 位置制御

```

```

' -----その他-----

```

```

frequency_txt.Text = WS(Count1) ' 風洞のインバータの周波数
Time_txt.Text = stopwatch.ElapsedMilliseconds / 1000 ' プログラム経過時間
count_txt.Text = Count1 ' プログラム実行回数

```

```

' -----時間指定-----

```

End Sub

Private Sub InputGain()

```

' =====
' ===== ゲイン入力 =====
' =====

```

```

' -----ラダーゲイン入力-----

```

```

Kp1(Count1) = Val(Kp1_txt.Text) ' PID係数
Ki1(Count1) = Val(Ki1_txt.Text)
Kd1(Count1) = Val(Kd1_txt.Text)

```

```

' -----モーターゲイン入力-----

```

```

Kp2(Count1) = Val(Kp2_txt.Text) ' 比例

```

Ki2 (Count1) = Val (Ki2_txt. Text) ' 積分

Kd2 (Count1) = Val (Kd2_txt. Text) ' 微分

' -----位置制御ゲイン入力-----

Kp3 (Count1) = Val (Kp3_txt. Text) ' 比例

Kd3 (Count1) = Val (Kd3_txt. Text) ' 微分

' -----位置制御時のモータ入力-----

Kp4 (Count1) = Val (Kp4_txt. Text) ' 比例

Kd4 (Count1) = Val (Kd4_txt. Text) ' 微分

' -----風洞制御ゲイン入力-----

Kp5 (Count1) = Val (Kp5_txt. Text) ' 比例

Kd5 (Count1) = Val (Kd5_txt. Text) ' 微分

' -----現在値-----

Value1 (Count1) = Angle1 (Count1)

Value2 (Count1) = X_1 (Count1) ' 進行方向

Value3 (Count1) = Y_1 (Count1) ' ヨー方向

Offset1 (Count1) = Val (Offset1_txt. Text) ' モータのオフセット電圧

Offset2 (Count1) = Val (Angle_adjustment_txt. Text) ' ラダー角の角度調整 [V]*

' -----制御目標座標-----

Target1 (Count1) = Val (kakudoTarget_txt. Text) ' 角度

Target2 (Count1) = Val (Target2_txt. Text) ' 進行方向

Target3 (Count1) = Val (Target3_txt. Text) ' ヨー方向

Target4 (Count1) = Val (Target4_txt. Text) ' 上下方向

Target5 (Count1) = Val (kakudoTarget_txt. Text) ' Y方向目標値

C1 (Count1) = Val (c1_txt. Text)

C2 (Count1) = Val (c2_txt. Text)

Ts1 (Count1) = Val (Ts1_txt. Text)

End Sub

Private Sub InputValue ()

' -----CV-3000データ取り込み-----

X_1 (Count1) = Buffer. Substring (3, 10)

Y_1 (Count1) = Buffer. Substring (14, 10)

Angle1 (Count1) = Buffer. substring (25, 8) * 3. 1415 / 180

' X_2 (Count1) = Buffer. Substring (34, 10)

```

'Y_2(Count1) = Buffer.Substring(45, 10)
'Angle2(Count1) = Buffer.substring(56, 8) * 3.1415 / 180
'Count(Count1) = Buffer.substring(65, 11)

```

End Sub

```

Private Sub Button1_Click(ByVal sender As System.Object, ByVal e As System.EventArgs) Handles
Button1.Click

```

```

'通信開始ボタンのClickイベント
msSerial.PortOpen = Not msSerial.PortOpen '交互の制御
If msSerial.PortOpen = True Then
'通信開始命令
Button1.Text = "通信停止" '表示の切り替え
Count1 = 2 '回路基準用V電圧出力
Engunitsout(3) = Single.Parse(2)
ULStat = DaqBoard1.FromEngUnits(Range, Engunitsout(3), DataValuesOut(3))
ULStat = DaqBoard1.AOut(Chan1, Range, DataValuesOut(3))

Timer1.Enabled = True
Else
'通信停止命令
Button1.Text = "通信開始"
Timer1.Enabled = False
Timer2.Enabled = False
Timer5.Enabled = False
End If
End Sub

```

```

Private Sub Button5_Click(ByVal sender As System.Object, ByVal e As System.EventArgs) Handles
Button5.Click

```

```

Count1 = 5
Timer1.Enabled = False

Timer2.Enabled = True
Timer5.Enabled = False

```

End Sub

```

Private Sub Button7_Click(ByVal sender As System.Object, ByVal e As System.EventArgs) Handles
Button7.Click

```

```

Count1 = 2
Timer1.Enabled = False
Timer2.Enabled = False

```

```

Timer5.Enabled = True
End Sub

```

```

Private Sub Timer1_Tick(ByVal sender As System.Object, ByVal e As System.EventArgs) Handles
Timer1.Tick

```

```

    InputValue()      ' CV-3000データ取り込み
    InputGain()       ' フォーム入力の値を変換

```

```

' =====
' =====PID計算(ヨ一角制御のみ)=====
' =====

```

```

lab1:    Time1(Count1) = stopwatch.ElapsedMilliseconds / 1000 - Time2(Count1 - 1) ' 現時間から
前回ループ時の時間を引き、プログラムの間隔時間を計算

```

```

    If Time1(Count1) < 0.1 Then GoTo lab1

```

```

    Time2(Count1) = stopwatch.ElapsedMilliseconds / 1000 ' 次ループの為に現時間を記録

```

```

' -----P項の係数-----

```

```

P1(Count1) = (Target1(Count1) - Value1(Count1)) ' 角度

```

```

P2(Count1) = (Target2(Count1) - Value2(Count1)) ' モータ出力

```

```

' -----D項の係数-----

```

```

dt = Time1(Count1) ' 角度

```

```

dv1 = Value1(Count1) - Value1(Count1 - 1)

```

```

D1(Count1) = dv1 / dt

```

```

dv2 = Value2(Count1) - Value2(Count1 - 1) ' モータ出力

```

```

D2(Count1) = dv2 / dt

```

```

' -----I項の係数-----

```

```

I1(Count1) = I1(Count1 - 1) + P1(Count1) ' 角度

```

```

I2(Count1) = I2(Count1 - 1) + P2(Count1) ' モータ出力

```

```

' -----印加電圧の計算-----

```

```

MVn1(Count1) = Kp1(Count1) * P1(Count1) + Ki1(Count1) * I1(Count1) + Kd1(Count1) *
D1(Count1) + Offset2(Count1) ' 角度*****

```

```

MVn2(Count1) = Kp2(Count1) * P2(Count1) + Ki2(Count1) * I2(Count1) + Kd2(Count1) *

```

```
D2(Count1) + Offset1(Count1) ' モータ出力
```

```
WS(Count1) = 11.89885076 * Val(wind_tunnel_txt.Text) + 0.002739645 ' 風洞の周波数
```

```
MVn4(Count1) = Val(wind_tunnel_txt.Text)
```

```
huusoku_txt.Text = -0.0187 * MVn4(Count1) ^ 5 + 0.2198 * MVn4(Count1) ^ 4 - 0.9185 *  
MVn4(Count1) ^ 3 + 1.5821 * MVn4(Count1) ^ 2 + 0.0406 * MVn4(Count1) + 0.0893 ' 風洞の風速[Excel  
で出た近似曲線式(次数)]
```

```
' =====電圧出力=====
```

```
If Value2(Count1) = 0 Then MVn2(Count1) = 0 ' 範囲外になればモータ出力を停止に
```

```
If Value1(Count1) = 0 Then MVn1(Count1) = 2 ' 範囲外になればラダー出力を中立に
```

```
' -----ラダー出力-----
```

```
Engunitsout(1) = Single.Parse(MVn1(Count1))
```

```
ULStat = DaqBoard0.FromEngUnits(Range, Engunitsout(1), DataValuesOut(1))
```

```
ULStat = DaqBoard0.AOut(Chan1, Range, DataValuesOut(1))
```

```
' -----モータ出力-----
```

```
Engunitsout(2) = Single.Parse(MVn2(Count1))
```

```
ULStat = DaqBoard0.FromEngUnits(Range, Engunitsout(2), DataValuesOut(2))
```

```
ULStat = DaqBoard0.AOut(Chan2, Range, DataValuesOut(2))
```

```
' -----風洞制御-----
```

```
Engunitsout(4) = Single.Parse(MVn4(Count1))
```

```
ULStat = DaqBoard1.FromEngUnits(Range, Engunitsout(4), DataValuesOut(4))
```

```
ULStat = DaqBoard1.AOut(Chan2, Range, DataValuesOut(4))
```

```
' -----モータ電圧測定-----
```

```
ULStat = DaqBoard0.AIn(ChanIn2, Range1, DataValuesIn(2))
```

```
ULStat = DaqBoard0.ToEngUnits(Range1, DataValuesIn(2), EngUnitsin(2))
```

```
Vin2(Count1) = EngUnitsin(2).ToString("0.0###")
```

```
Mv(Count1) = Vin2(Count1) ' 電圧表示
```

```
TextControl() ' テキスト表示
```

```
Count1 = Count1 + 1 ' カウント
```

```
End Sub
```

```
Private Sub Timer2_Tick(ByVal sender As System.Object, ByVal e As System.EventArgs) Handles  
Timer2.Tick
```

```
InputValue() ' CV-3000データ取り込み
```

```
InputGain() ' フォーム入力の値を変換
```

```

' =====
' -----目標角のPD制御-----
' =====

```

lab1: Time1(Count1) = stopwatch.ElapsedMilliseconds / 1000 - Time2(Count1 - 1) ' 現時間から
 前回ループ時の時間を引き、プログラムの間隔時間を計算

If Time1(Count1) < Ts1(Count1) Then GoTo lab1

Time2(Count1) = stopwatch.ElapsedMilliseconds / 1000 ' 次ループの為に現時間を記録

```

' -----ヨー角(Value1)の予測

```

```

' -----1ステップ予測-----

```

Value1h(Count1) = 0.5 * Ts1(Count1) ^ 2 * C1(Count1) * MVn1(Count1 - 4) + Ts1(Count1) *
 ((Value1(Count1) - Value1(Count1 - 1)) / Ts1(Count1)) + Value1(Count1)

D4h(Count1) = Ts1(Count1) * C1(Count1) * MVn1(Count1 - 4) + ((Value1(Count1) -
 Value1(Count1 - 1)) / Ts1(Count1))

```

' -----2ステップ予測-----

```

Value1hh(Count1) = 0.5 * Ts1(Count1) ^ 2 * C1(Count1) * MVn1(Count1 - 3) + Ts1(Count1)
 * ((Value1h(Count1) - Value1(Count1)) / Ts1(Count1)) + Value1h(Count1)

D4hh(Count1) = Ts1(Count1) * C1(Count1) * MVn1(Count1 - 3) + ((Value1h(Count1) -
 Value1(Count1)) / Ts1(Count1))

```

' -----3ステップ予測-----

```

Value1hhh(Count1) = 0.5 * Ts1(Count1) ^ 2 * C1(Count1) * MVn1(Count1 - 2) + Ts1(Count1)
 * ((Value1hh(Count1) - Value1h(Count1)) / Ts1(Count1)) + Value1hh(Count1)

D4hhh(Count1) = Ts1(Count1) * C1(Count1) * MVn1(Count1 - 2) + ((Value1hh(Count1) -
 Value1h(Count1)) / Ts1(Count1))

```

' -----4ステップ予測-----

```

Value1hhhh(Count1) = 0.5 * Ts1(Count1) ^ 2 * C1(Count1) * MVn1(Count1 - 1) + Ts1(Count1)
 * ((Value1hhh(Count1) - Value1hh(Count1)) / Ts1(Count1)) + Value1hhh(Count1)

D4hhhh(Count1) = Ts1(Count1) * C1(Count1) * MVn1(Count1 - 1) + ((Value1hhh(Count1) -
 Value1hh(Count1)) / Ts1(Count1))

```

' -----位置(Value3)の予測

```

```

' -----1ステップ予測-----

```

Value3h(Count1) = 0.5 * Ts1(Count1) ^ 2 * C2(Count1) * Value1(Count1) + Ts1(Count1) *
 ((Value3(Count1) - Value3(Count1 - 1)) / Ts1(Count1)) + Value3(Count1)

D6h(Count1) = Ts1(Count1) * C2(Count1) * Value1(Count1) + ((Value3(Count1) - Value3(Count1

- 1)) / Ts1 (Count1))

'-----2ステップ予測-----'

$$\text{Value3hh}(\text{Count1}) = 0.5 * \text{Ts1}(\text{Count1})^2 * \text{C2}(\text{Count1}) * \text{Value1h}(\text{Count1}) + \text{Ts1}(\text{Count1}) * ((\text{Value3h}(\text{Count1}) - \text{Value3}(\text{Count1})) / \text{Ts1}(\text{Count1})) + \text{Value3h}(\text{Count1})$$

$$\text{D6hh}(\text{Count1}) = \text{Ts1}(\text{Count1}) * \text{C2}(\text{Count1}) * \text{Value1h}(\text{Count1}) + ((\text{Value3h}(\text{Count1}) - \text{Value3}(\text{Count1})) / \text{Ts1}(\text{Count1}))$$

'-----3ステップ予測-----'

$$\text{Value3hhh}(\text{Count1}) = 0.5 * \text{Ts1}(\text{Count1})^2 * \text{C2}(\text{Count1}) * \text{Value1hh}(\text{Count1}) + \text{Ts1}(\text{Count1}) * ((\text{Value3hh}(\text{Count1}) - \text{Value3h}(\text{Count1})) / \text{Ts1}(\text{Count1})) + \text{Value3hh}(\text{Count1})$$

$$\text{D6hhh}(\text{Count1}) = \text{Ts1}(\text{Count1}) * \text{C2}(\text{Count1}) * \text{Value1hh}(\text{Count1}) + ((\text{Value3hh}(\text{Count1}) - \text{Value3h}(\text{Count1})) / \text{Ts1}(\text{Count1}))$$

'-----4ステップ予測-----'

$$\text{Value3hhhh}(\text{Count1}) = 0.5 * \text{Ts1}(\text{Count1})^2 * \text{C2}(\text{Count1}) * \text{Value1hhh}(\text{Count1}) + \text{Ts1}(\text{Count1}) * ((\text{Value3hhh}(\text{Count1}) - \text{Value3hh}(\text{Count1})) / \text{Ts1}(\text{Count1})) + \text{Value3hhh}(\text{Count1})$$

$$\text{D6hhhh}(\text{Count1}) = \text{Ts1}(\text{Count1}) * \text{C2}(\text{Count1}) * \text{Value1hhh}(\text{Count1}) + ((\text{Value3hhh}(\text{Count1}) - \text{Value3hh}(\text{Count1})) / \text{Ts1}(\text{Count1}))$$

'-----目標角のPD制御-----'

$$\text{P4}(\text{Count1}) = (\text{Target3}(\text{Count1}) - \text{Value3hhhh}(\text{Count1})) \text{ 'P項(比例)}$$

$$\text{dt} = \text{Time1}(\text{Count1}) \text{ 'D項(微分)}$$

$$\text{dv4} = \text{Value3}(\text{Count1}) - \text{Value3}(\text{Count1} - 1)$$

$$\text{D4}(\text{Count1}) = \text{dv4} / \text{dt}$$

$$\text{Target6}(\text{Count1}) = \text{Kp3}(\text{Count1}) * \text{P4}(\text{Count1}) + \text{Kd3}(\text{Count1}) * \text{D6hhhh}(\text{Count1}) + \text{Target1}(\text{Count1})$$

'-----P項の係数[モータ]-----'

$$\text{P1}(\text{Count1}) = (\text{Target6}(\text{Count1}) - \text{Value1hhhh}(\text{Count1})) \text{ 'P項(比例)}$$

$$\text{P2}(\text{Count1}) = (\text{Target2}(\text{Count1}) - \text{Value2}(\text{Count1})) \text{ 'モータ出力}$$

'-----D項の係数[モータ]-----'

$$\text{dv2} = \text{Value2}(\text{Count1}) - \text{Value2}(\text{Count1} - 1) \text{ 'モータ出力}$$

$$\text{D2}(\text{Count1}) = \text{dv2} / \text{dt}$$

$$\text{dt} = \text{Time1}(\text{Count1}) \text{ '角度}$$

$$\text{dv1} = \text{Value1}(\text{Count1}) - \text{Value1}(\text{Count1} - 1)$$

$$\text{D1}(\text{Count1}) = \text{dv1} / \text{dt}$$

$$\text{MVn1}(\text{Count1}) = \text{Kp4}(\text{Count1}) * \text{P1}(\text{Count1}) + \text{Kd4}(\text{Count1}) * \text{D4hhhh}(\text{Count1}) + \text{Offset2}(\text{Count1})$$

```

MVn2(Count1) = Kp2(Count1) * P2(Count1) + Kd2(Count1) * D2(Count1) + Offset1(Count1) '
モータ出力

```

```

'-----印加電圧の計算-----

```

```

WS(Count1) = 11.89885076 * Val(wind_tunnel_txt.Text) + 0.002739645 ' 風洞の周波数
MVn4(Count1) = Val(wind_tunnel_txt.Text)
huusoku_txt.Text = -0.0187 * MVn4(Count1) ^ 5 + 0.2198 * MVn4(Count1) ^ 4 - 0.9185 *
MVn4(Count1) ^ 3 + 1.5821 * MVn4(Count1) ^ 2 + 0.0406 * MVn4(Count1) + 0.0893 ' 風洞の風速[Excel
で出た近似曲線式から(次数)]

```

```

'-----電圧出力-----

```

```

If Value2(Count1) = 0 Then MVn2(Count1) = 0 ' 範囲外になればモータ出力を停止に
If Value1(Count1) = 0 Then MVn1(Count1) = 2 ' 範囲外になればラダー出力を中立に

```

```

'-----ラダー出力-----

```

```

Engunitsout(1) = Single.Parse(MVn1(Count1))
ULStat = DaqBoard0.FromEngUnits(Range, Engunitsout(1), DataValuesOut(1))
ULStat = DaqBoard0.AOut(Chan1, Range, DataValuesOut(1))

```

```

'-----モータ出力-----

```

```

Engunitsout(2) = Single.Parse(MVn2(Count1))
ULStat = DaqBoard0.FromEngUnits(Range, Engunitsout(2), DataValuesOut(2))
ULStat = DaqBoard0.AOut(Chan2, Range, DataValuesOut(2))

```

```

'-----風洞制御-----

```

```

Engunitsout(4) = Single.Parse(MVn4(Count1))
ULStat = DaqBoard1.FromEngUnits(Range, Engunitsout(4), DataValuesOut(4))
ULStat = DaqBoard1.AOut(Chan2, Range, DataValuesOut(4))

```

```

'-----モータ電圧測定-----

```

```

ULStat = DaqBoard0.AIn(ChanIn2, Range1, DataValuesIn(2))
ULStat = DaqBoard0.ToEngUnits(Range1, DataValuesIn(2), EngUnitsin(2))
Vin2(Count1) = EngUnitsin(2).ToString("0.0###")

```

```

Mv(Count1) = Vin2(Count1) ' 電圧表示
TextControl() ' テキスト表示
Count1 = Count1 + 1 ' カウント

```

End Sub

Private Sub Timer5_Tick(ByVal sender As System.Object, ByVal e As System.EventArgs) Handles

Timer5.Tick

InputValue() ' CV-3000データ取り込み

InputGain() ' フォーム入力の値を変換

' =====
' =====PID計算(位置制御+高さ制御)=====
' =====

Time1(Count1) = stopWatch.ElapsedMilliseconds / 1000 - Time2(Count1 - 1) ' 現時間から
前回ループ時の時間を引き、プログラムの間隔時間を計算

Time2(Count1) = stopWatch.ElapsedMilliseconds / 1000 ' 次ループの為に現時間を記録

' -----位置制御-----

P4(Count1) = (Target3(Count1) - Value3(Count1)) ' P項(比例)

dt = Time1(Count1) ' D項(微分)

dv4 = Value3(Count1) - Value3(Count1 - 1)

D4(Count1) = dv4 / dt

' -----位置制御時のヨー角制御-----

P3(Count1) = (Target5(Count1) - Value1(Count1)) ' P項(比例)

dt = Time1(Count1) ' D項(微分)

dv3 = Value1(Count1) - Value1(Count1 - 1)

D3(Count1) = dv3 / dt

' -----P項の係数[モータ]-----

P2(Count1) = (Target2(Count1) - Value2(Count1)) ' モータ出力

' -----D項の係数[モータ]-----

dv2 = Value2(Count1) - Value2(Count1 - 1) ' モータ出力

D2(Count1) = dv2 / dt

' -----I項の係数[モータ]-----

I2(Count1) = I2(Count1 - 1) + P2(Count1) ' モータ出力

' -----印加電圧の計算-----

MVn1(Count1) = Kp3(Count1) * P4(Count1) + Kd3(Count1) * D4(Count1) + Kp4(Count1) *
P3(Count1) + Kd4(Count1) * D3(Count1) + Offset2(Count1) ' 角度+位置

MVn2(Count1) = Kp2(Count1) * P2(Count1) + Ki2(Count1) * I2(Count1) + Kd2(Count1) *
D2(Count1) + Offset1(Count1) ' モータ出力

```

' =====風洞制御=====
'
' -----P項の係数[風洞制御]-----
P5(Count1) = (Target4(Count1) - Y_2(Count1)) ' 高さ(カメラ_Y)

' -----D項の係数[風洞制御]-----
dt = Time1(Count1) ' 高さ(カメラ_Y)
dv5 = Y_2(Count1) - Y_2(Count1 - 1)
D5(Count1) = dv1 / dt

' -----印加電圧の計算[風洞制御]-----
MVn5(Count1) = Val(wind_tunnel_txt.Text)
MVn4(Count1) = Kp5(Count1) * P5(Count1) + Kd5(Count1) * D5(Count1) + MVn5(Count1)

' -----風洞の風速・周波数計算-----
WS(Count1) = 11.89885076 * Val(wind_tunnel_txt.Text) + 0.002739645 ' 風洞の周波数
huusoku_txt.Text = -0.0187 * MVn4(Count1) ^ 5 + 0.2198 * MVn4(Count1) ^ 4 - 0.9185 *
MVn4(Count1) ^ 3 + 1.5821 * MVn4(Count1) ^ 2 + 0.0406 * MVn4(Count1) + 0.0893 ' 風洞の風速[Excel
で出た近似曲線式から(次数)]

' =====電圧出力=====
If Value2(Count1) = 0 Then MVn2(Count1) = 0 ' 範囲外になればモータ出力を停止に
If Value1(Count1) = 0 Then MVn1(Count1) = 2 ' 範囲外になればラダー出力を中立に

' -----ラダー出力-----
Engunitsout(1) = Single.Parse(MVn1(Count1))
ULStat = DaqBoard0.FromEngUnits(Range, Engunitsout(1), DataValuesOut(1))
ULStat = DaqBoard0.AOut(Chan1, Range, DataValuesOut(1))

' -----モータ出力-----
Engunitsout(2) = Single.Parse(MVn2(Count1))
ULStat = DaqBoard0.FromEngUnits(Range, Engunitsout(2), DataValuesOut(2))
ULStat = DaqBoard0.AOut(Chan2, Range, DataValuesOut(2))

' -----風洞制御-----
Engunitsout(4) = Single.Parse(MVn4(Count1))
ULStat = DaqBoard1.FromEngUnits(Range, Engunitsout(4), DataValuesOut(4))
ULStat = DaqBoard1.AOut(Chan2, Range, DataValuesOut(4))

' -----モータ電圧測定-----

```

```

ULStat = DaqBoard0.AIn(ChanIn2, Range1, DataValuesIn(2))
ULStat = DaqBoard0.ToEngUnits(Range1, DataValuesIn(2), EngUnitsin(2))
Vin2(Count1) = EngUnitsin(2).ToString("0.0###")

```

```

Mv(Count1) = Vin2(Count1) ' 電圧表示
TextControl() ' テキスト表示
Count1 = Count1 + 1 ' カウント

```

End Sub

```

Private Sub Button4_Click(ByVal sender As System.Object, ByVal e As System.EventArgs) Handles
Button4.Click

```

```

    Dim n As Integer ' カウント用関数
    Dim dtNow As DateTime = DateTime.Now ' 現在の日時を取得

```

```

    Dim stPrompt1 As String = dtNow.ToString("yyyy年MM月dd日_(dddd)_tt_hh時mm分ss秒") ' 指
    定した書式で日付を文字列に変換する

```

```

    Dim Writer1 As New IO.StreamWriter("C:\¥" & stPrompt1 & "1[HF].csv") ' ファイル書き込み
    開始、ファイル保存先決定

```

```

    ' Dim Writer2 As New IO.StreamWriter("C:\¥" & stPrompt1 & "2[HF].csv") ' ファイル書き込み
    開始、ファイル保存先決定

```

```

    Writer1.WriteLine("Count" & "," & "Time" & "," & "X_1" & "," & "Y_1" & "," & "X_2" & "," &
& "Y_2" & "," & "yaw(deg)" & "," & "pitch(deg)" & "," & "Kp(r)" & "," & "Kd(r)" & "," & "Kp(M)" &
& "," & "Kd(M)" & "," & "Target(M)" & "," & "Target(r)" & "," & "Target(W)" & "," & "V(r)" & "," &
& "V(M)" & "," & "V(W)" & "," & "Time2" & "," & "Yta" & "," & "Ota" & "," & "Kpy" & "," & "Kdy" &
& "," & "Kpo" & "," & "Kdo" & "," & "MVn1(r)" & "," & "MVn2(M)") ' ファイルに書き込み

```

```

    For n = 0 To Count1 Step 1

```

```

        Writer1.WriteLine(Count(n) & "," & Time2(n) & "," & X_1(n) & "," & Y_1(n) & "," & X_2(n)
& "," & Y_2(n) & "," & deg1(n) & "," & deg2(n) & "," & Kp1(n) & "," & Kd1(n) & "," & Kp2(n) & "," &
& Kd2(n) & "," & Target2(n) & "," & Target1(n) & "," & Target4(n) & "," & MVn1(n) & "," & MVn2(n)
& "," & MVn4(n) & "," & Time2(n) & "," & Target3(n) & "," & Target5(n) & "," & Kp3(n) & "," & Kd3(n)
& "," & Kp4(n) & "," & Kd4(n) & "," & MVn1(n) & "," & MVn2(n)) ' ファイルに書き込み

```

```

    Next n

```

```

    Writer1.Close()

```

```

    ' Writer2.WriteLine("Count" & "," & "Time2" & "," & "Yta" & "," & "Ota" & "," & "Kpy" &
& "," & "Kdy" & "," & "Kpo" & "," & "Kdo" & "," & "MVn1(r)" & "," & "MVn2(M)") ' ファイルに書き込
    み

```

```

    ' For n = 0 To Count1 Step 1

```

```

        ' Writer2.WriteLine(Count(n) & "," & Time2(n) & "," & Target3(n) & "," & Target5(n) & ","
& Kp3(n) & "," & Kd3(n) & "," & Kp4(n) & "," & Kd4(n) & "," & MVn1(n) & "," & MVn2(n)) ' ファイ

```

ルに書き込み

```
'Next n  
'Writer2.Close() '書き込み終了
```

```
End Sub
```

```
Private Sub Timer3_Tick(ByVal sender As System.Object, ByVal e As System.EventArgs) Handles  
Timer3.Tick
```

```
TimeCounter.Text = TimeCounter.Text + 0.1
```

```
If TimeCounter.Text = 3 Then '調整時間はこの数値で指定する[今の設定は(s)]
```

```
v = 0.01
```

```
Offset1_txt.Text = (Offset1_txt.Text - v).ToString("0.00") 'ここで指定した場所の数  
値を減らす
```

```
TimeCounter.Text = 0
```

```
End If
```

```
End Sub
```

```
Private Sub Timer4_Tick(ByVal sender As System.Object, ByVal e As System.EventArgs) Handles  
Timer4.Tick
```

```
TimeCounter.Text = TimeCounter.Text + 0.1
```

```
If TimeCounter.Text = 3 Then '調整時間はこの数値で指定する[今の設定は(s)]
```

```
v = 0.01
```

```
Offset1_txt.Text = (Offset1_txt.Text + v).ToString("0.00") 'ここで指定した場所の数  
値を増やす
```

```
TimeCounter.Text = 0
```

```
End If
```

```
End Sub
```

```
Private Sub Button14_Click(ByVal sender As System.Object, ByVal e As System.EventArgs) Handles  
Button14.Click
```

```
Timer3.Enabled = True
```

```
Button14.Enabled = False
```

```
Button15.Enabled = False
```

```
Button16.Enabled = False
```

```
End Sub
```

```
Private Sub Button13_Click(ByVal sender As System.Object, ByVal e As System.EventArgs) Handles  
Button13.Click
```

```
Timer3.Enabled = False
```

```
Button14.Enabled = True
```

```
Button15.Enabled = True
```

```
Button16.Enabled = True
```

```
TimeCounter.Text = 0
```

```
End Sub
```

```
Private Sub Button15_Click(ByVal sender As System.Object, ByVal e As System.EventArgs) Handles
```

```
Button15.Click
```

```
Timer4.Enabled = True
```

```
Button13.Enabled = False
```

```
Button14.Enabled = False
```

```
Button15.Enabled = False
```

```
End Sub
```

```
Private Sub Button16_Click(ByVal sender As System.Object, ByVal e As System.EventArgs) Handles
```

```
Button16.Click
```

```
Timer4.Enabled = False
```

```
Button13.Enabled = True
```

```
Button14.Enabled = True
```

```
Button15.Enabled = True
```

```
TimeCounter.Text = 0
```

```
End Sub
```

```
Private Sub Button6_Click(ByVal sender As System.Object, ByVal e As System.EventArgs) Handles
```

```
Button6.Click
```

```
' 外乱発生プログラム
```

```
Dim a As Integer
```

```
Timer1.Enabled = False
```

```
For a = 0 To 50
```

```
Engunitsout(1) = Single.Parse(2.4)
```

```
ULStat = DaqBoard0.FromEngUnits(Range, Engunitsout(1), DataValuesOut(1))
```

```
ULStat = DaqBoard0.AOut(Chan1, Range, DataValuesOut(1))
```

```
Next a
```

```
Timer1.Enabled = True
```

```
End Sub
```

```
Private Sub Button3_Click(ByVal sender As System.Object, ByVal e As System.EventArgs) Handles
```

```
Button3.Click
```

```
Count1 = 1
```

```
End Sub
```

```
Private Sub Button2_Click(ByVal sender As System.Object, ByVal e As System.EventArgs) Handles
```

```
Button2.Click
```

```
End
```

```
End Sub
```

```
Private Sub Button8_Click(ByVal sender As System.Object, ByVal e As System.EventArgs) Handles  
Button8.Click  
    v = 0.01  
    Offset1_txt.Text = (Offset1_txt.Text + v).ToString("0.00") 'ここで指定した場所の数値を  
増やす  
End Sub
```

```
Private Sub Button9_Click(ByVal sender As System.Object, ByVal e As System.EventArgs) Handles  
Button9.Click  
    v = 0.01  
    Offset1_txt.Text = (Offset1_txt.Text - v).ToString("0.00") 'ここで指定した場所の数値を  
増やす  
End Sub
```

```
Private Sub Button10_Click(ByVal sender As System.Object, ByVal e As System.EventArgs) Handles  
Button10.Click  
    v = 0.01  
    wind_tunnel_txt.Text = (wind_tunnel_txt.Text + v).ToString("0.00") 'ここで指定した場所  
の数値を増やす  
End Sub
```

```
Private Sub Button11_Click(ByVal sender As System.Object, ByVal e As System.EventArgs) Handles  
Button11.Click  
    v = 0.01  
    wind_tunnel_txt.Text = (wind_tunnel_txt.Text - v).ToString("0.00") 'ここで指定した場所  
の数値を減らす  
End Sub
```

```
Private Sub Angle_adjustment_txt_TextChanged(ByVal sender As System.Object, ByVal e As  
System.EventArgs) Handles Angle_adjustment_txt.TextChanged  
  
End Sub
```

```
End Class
```

付録2 制御パネル (Visual Basic)

受信データ

463,+00144.024,-027.883,+00000.000,+00000.000,+000.000,0000176892

カメラ1			カメラ2			Count	Time
X	Y	角度 [deg]	X	Y	角度 [deg]		
126.956	144.347	-28.8129987	0	0	0	54	28.447

ラダー角度制御			モータ制御			
印加電圧	現在値 [deg]	ラダー中心電圧 [V]	現在値	目標値	印加電圧	モータ電圧
4.042339	-28.8129987	1.5	126.956	250	0.06300195	0

ラダー角度制御			モータ制御		
比例	微分	積分	比例	微分	積分
Kp 3.25	Kd -2.8	Ki 0	Kp 0.0005	Kd -0.001	Ki 0

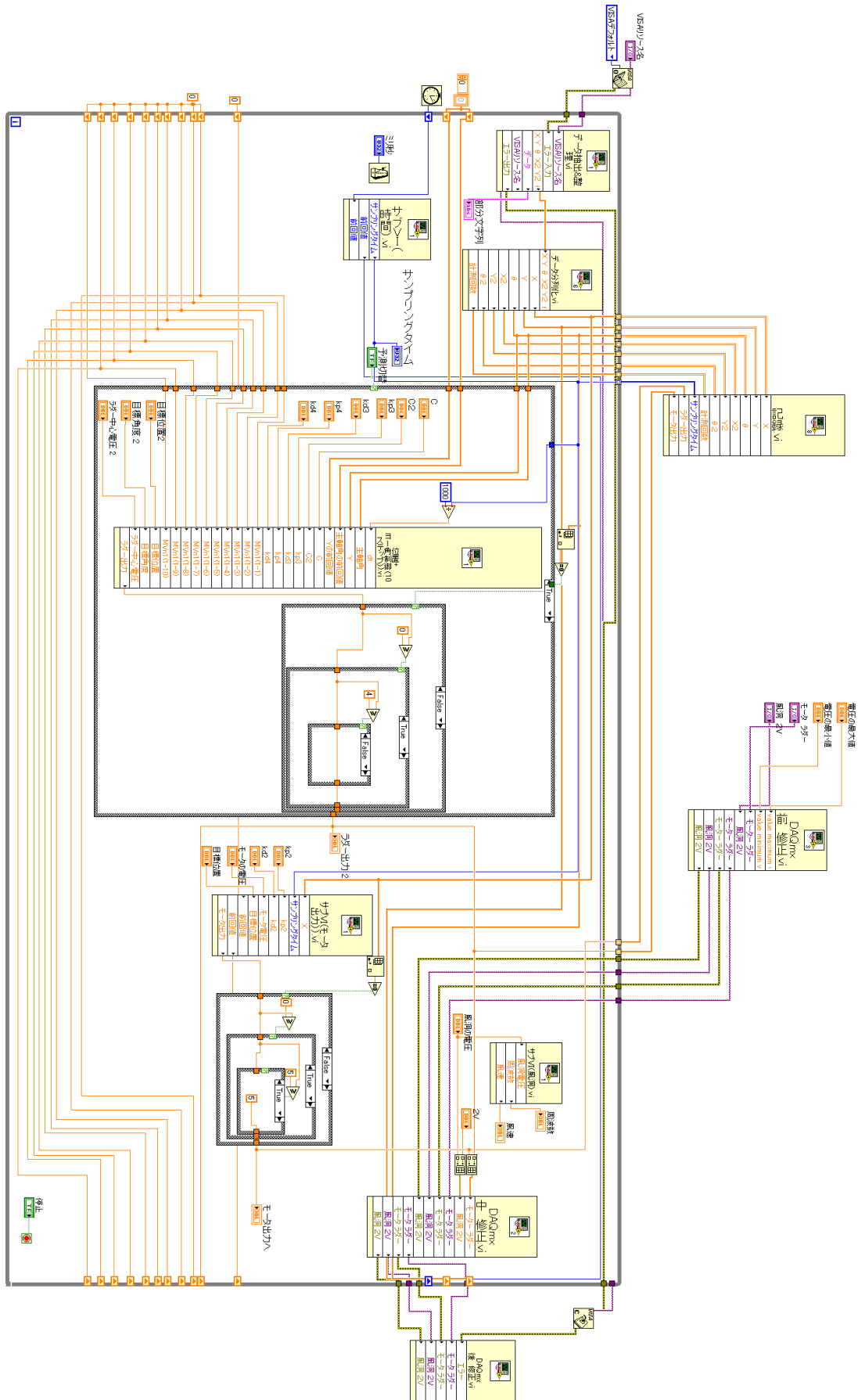
位置制御				風洞制御		
位置制御電圧	現在位置	目標位置	機体角度目標値 [rad]	印加電圧 [V]	周波数 [Hz]	風速 [m/s]
4.042339	144.347	235	0.2	0	0.00273964	0.0893

位置制御		ヨー角制御	
比例	微分	比例	微分
Kp 0.0007	Kd -0.00008	Kp 1.05	Kd -0.7

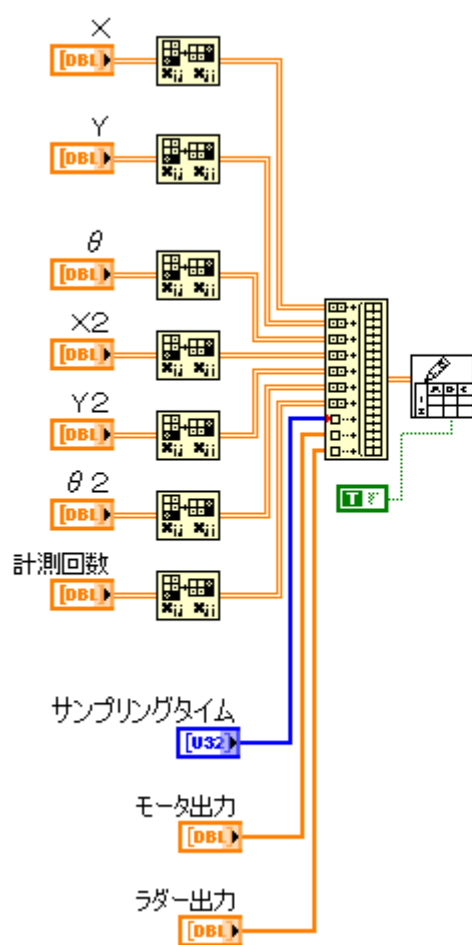
高さ制御	
比例	微分
Kp -0.0015	Kd 0.002

Ts
0.025

付録3 飛行制御プログラム (LabVIEW)



付録4 データ保存プログラム (LabVIEW)



付録5 飛行制御プログラム (KV-5000 ラダープログラム)

